

تاریخ دریافت: ۱۳۹۰/۱۰/۱۷

تاریخ پذیرش: ۱۳۹۱/۱۰/۲۰

## بررسی اثر نانورس و میکروکریستالین سلولز بر خواص کاربردی چندسازه چوب / پلیپروپیلن

- ❖ **امیر نوربخش**؛ دانشیار بخش تحقیقات علوم چوب و فراوردهای آن، مؤسسه تحقیقات جنگل‌ها و مراتع کشور  
❖ **علیرضا عشوری**؛ دانشیار پژوهشکده فناوری‌های شیمیایی، سازمان پژوهش‌های علمی و صنعتی ایران

### چکیده

در این مطالعه پتانسیل استفاده از نانورس و میکروکریستالین سلولز در ساخت چندسازه بررسی شد. آثار نانو ذرات رس، میکروکریستالین سلولز و جفت‌کننده مالیکی (MAPP) نیز بر خواص مکانیکی و ریخت‌شناسی و آنالیز حرارتی چندسازه بررسی شد. نتایج خواص مکانیکی، به‌طور مشخص، در چندسازه ساخته شده در مقایسه با نمونه شاهد، برتر بود. نتایج آزمایش‌ها نیز نشان داد که استفاده از MAPP باعث بهبود خواص حرارتی در جریان مخلوط‌سازی در فاز درون‌سطحی و سبب اتصال بهتر بین الیاف و ماتریس می‌شود. خواص برتر کششی چندسازه نانورس و میکروکریستالین سلولز نیز از طریق عکس‌سیرداری الکترونی تأیید شد. تحلیل و بررسی رفتار حرارتی چندسازه نیز به کمک آزمون TGA نشان داد که استفاده از ۵ درصد MAPP به همراه ۳ درصد نانورس، به‌طور مشخص، موجب افزایش مقاومت حرارتی چندسازه در مقایسه با سایر تیمارها می‌شود.

**واژگان کلیدی:** جفت‌کننده مالیکی، چندسازه، خواص مکانیکی، خواص حرارتی، میکروکریستالین سلولز، نانورس

کاهش می‌یابد. نتایج حاصل از تفرق اشعه ایکس<sup>۱</sup> نیز این مطلب را تأیید کرد، زیرا ساختار Exfoliation در چندسازه ایجاد شد. این محققان همچنین بیان کردند که کلیه ویژگی‌های مکانیکی با افزودن ماده سازگار‌کننده، بهسبب بهبود سطح مشترک ماتریس پلیمری و فاز پرکننده، افزایش می‌یابد [۴].

در بررسی دیگری ساخت چوب پلاستیک با استفاده از پلیپروپیلن و آرد باگاس و نانورس انجام گرفت و نتایج نشان داد که با افزودن نانورس تا مقدار وزنی ۳ درصد استحکام کششی افزایش می‌یابد، اما با افزایش آن تا ۴ درصد کاهش جزئی در استحکام کششی مشاهده می‌شود. در مورد مقاومت به ضربه، افزودن نانورس باعث کاهش ۶ درصد در مقاومت به ضربه شد و کاهش جذب آب را نیز به همراه داشت. این محققان نتیجه گرفتند که با اضافه کردن جفت‌کننده مالیکی خصوصیات فیزیکی و مکانیکی چندسازه چوب پلاستیک افزایش می‌یابد. در ضمن، افزودن نانورس موجب بهبود ویژگی‌های فیزیکی و مکانیکی چندسازه چوب پلاستیک نیز می‌شود [۵].

بررسی رفتار مکانیکی و حرارتی نانو چندسازه‌های پلیپروپیلن خالص، ۴۰ درصد تالک / پلیپروپیلن، و ۵ درصد خاک رس سیلیکاته (مونت موریلونیت) / پلیپروپیلن نیز بررسی شد و نتایج آنالیز حرارتی نشان داد که ذرات تالک یا نانورس در پلیپروپیلن دمای تجزیه را افزایش می‌دهند، اما تأثیری بر دمای تبدیل شیشه‌ای و دمای ذوب ندارند. در ضمن، نتایج آزمون کششی نشان داد که ۴۰ درصد تالک مدول را افزایش می‌دهد، اما تاب ارتجاعی<sup>۲</sup> را کاهش می‌دهد. در حالی که ۵ درصد نانورس هم مدول را افزایش می‌دهد و هم تاب ارتجاعی [۶].

هدف از این تحقیق، تعیین خواص مکانیکی و بررسی رفتار حرارتی چندسازه ساخته شده از نانورس به همراه میکروکریستالین سلولز است. بر این

## مقدمه

امروزه، چندسازه‌های چوب پلاستیک، به عنوان مواد مهندسی، در صنایع مختلفی چون خودروسازی، هواپیما، ساختمان‌سازی و... کاربرد وسیعی یافته است. این مواد بدون استفاده از مواد شیمیایی و غیر سرمی دوام بالایی دارند. در سال‌های اخیر، کاربرد چندسازه‌ها به سرعت در اروپا، امریکای شمالی و آسیا توسعه یافته است [۱]. ترکیبات اولیه چندسازه‌های چوب پلاستیکی شامل رزین‌های گرمانرم و معمولاً ۴۰ تا ۷۰ درصد الیاف چوب (در روش اکسترودن) است. افزودن مواد چوبی مزایای زیادی چون زیست‌سازگاری و بهبود خواص مکانیکی به محصول نهایی می‌دهد.

در سال‌های اخیر، استفاده از مواد چوبی، که ویژگی‌های مناسب‌تری دارند، گسترش و افزایش یافته است. در تحقیقاتی که در کشورهای مختلف صورت گرفته به استفاده از عناصر مختلف چوبی در ابعاد کمتر، مانند سلولز و میکروسلولز، توجه شده است. تقویت‌کننده‌هایی چون میکروکریستالین سلولز به همراه جفت‌کننده‌ها خواص مکانیکی مناسبی بین ماتریس پلیمر غیر قطبی و مواد سلولزی قطبی تولید می‌کنند [۲، ۳]. این اتفاق در نانو چندسازه‌های پلیمری نیز که از پلیمرهای گرمانرم استفاده می‌کنند، رخ می‌دهد. اختلاط این گروه از پلیمرها بهسبب ماهیت غیرقطبی‌شان با نانورس به تولید یک محصول نانو چندسازه‌ای می‌انجامد.

تأثیر استفاده از نانورس و ماده جفت‌کننده بر ویژگی‌های مکانیکی و حرارتی چندسازه‌های حاصل از الیاف بامبو پلی‌اتیلن سنگین نیز بررسی شده است. نتایج مطالعات هان و همکاران (۲۰۰۸) نشان داد که به هنگام افزودن ۱ درصد نانورس مدول الاستیستیت خمی، مدول الاستیستیت دینامیک و درجه کریستالیت افزایش می‌یابد، در حالی که استحکام به ضربه نمونه‌ها

1. X-ray diffraction  
2. Yield strength

جدول ۱. فرمول سیلیکات لایه‌ای یا فیلوسیلیکات

مونت موریلیونیت	فرمول شیمیایی	CEC (mequiv/100 g)	طول ذره (nm)
M <sub>x</sub> Al <sub>4-x</sub> Mg <sub>x</sub> Si <sub>8</sub> O <sub>20</sub> (OH) <sub>4</sub>		۱۱۰	۱۰۰-۱۵۰

کاتیون تک‌ظرفیتی؛ X، درجه جانشینی (بین ۰/۵ و ۱/۳)

در جدول ۲ ارائه شده است. مواد به کاررفته به کمک دستگاه اکسترودر (کولین)، از نوع دو مارپیچه همسوگرد، مخلوط شدند. مناطق حرارتی اکسترودر به ترتیب ۱۶۵، ۱۷۰، ۱۷۵، ۱۸۰، و ۱۸۵ درجه سلسیوس برای نواحی ۱ تا ۵ اختصاص یافت. سرعت دورانی مارپیچه در حد ۶۰ دور در دقیقه تنظیم شد. مواد مخلوط شده مذاب از حمام آب سرد عبور داده و به صورت پلت<sup>۲</sup> تهیه شد. ذرات پلت تهیه شده به کمک دستگاه گرانول‌ساز به گرانول تبدیل شدند. به منظور جلوگیری از هرگونه اثر منفی رطوبت، ذرات گرانول به کمک دستگاه خشک‌کن در دمای ۹۰ درجه سلسیوس تا ۳ درصد خشک شدند. ذرات گرانول به دست آمده به کمک دستگاه قالب‌گیری تزریقی در دمای ۱۸۵ درجه سلسیوس و با فشار ۳ مگاپاسکال مطابق با استاندارد ASTM D ۶۱۸ برای تهیه نمونه‌های آزمونی ضربه، خمش، و اکشنس تهیه شد.

### اندازه‌گیری خواص مکانیکی

تمام نمونه‌های آزمونی مطابق با آئین‌نامه‌های استاندارد ASTM-D ۶۳۸ برای خواص کششی، و ASTM D ۲۵۶ برای مقاومت به ضربه فاقدار آیزود آزمایش شدند [۷]. نمونه‌های کششی و خمشی با استفاده از دستگاه Instron (۱۱۸۶) به ترتیب در سرعت ۱/۵ و ۲ میلی‌متر بر دقیقه آزمایش شدند. برای آزمون استحکام کششی نمونه‌های دمبلی‌شکل از نوع III با ضخامت ۱۲ میلی‌متر تهیه گردید. دستگاه آزمایشگر مقاومت به ضربه از نوع Zwick ۱۴۴۶ انتخاب شد. نتایج ارائه شده میانگین حداقل ۶ نمونه برای هر تیمار است.

اساس، تیمارهای متفاوتی شامل درصدهای مختلفی از نانورس، میکروکریستالین سلولز، و جفت‌کننده مالیکی به همراه آرد چوب و پلی‌پروپیلن استفاده شد.

### روش‌شناسی

#### مواد

آرد چوب به کاررفته از گونه صنوبر *Populus deltoidea* تهیه شد که پس از درجه‌بندی در ابعاد ۶۰/۴۰ الک، و سپس در دمای ۱۰۰ درجه سلسیوس به مدت ۲۴ ساعت تا رطوبت ۳ درصد خشک شد.

میکروکریستالین سلولز (MCC) از شرکت آلدریچ<sup>۱</sup> و از نوع ۲۰-Pulver ۲۰ و در ابعاد ۲۰ میکرون تهیه شد. در این بررسی میکروکریستالین سلولز به عنوان تقویت‌کننده سلولزی استفاده شد.

پلی‌پروپیلن بررسی شده با نام تجاری Moplen ۷۳۰S از پتروشیمی ارک با شاخص جریان مذاب ۸ گرم بر ۱۰ دقیقه در دمای ۲۳۰ درجه سلسیوس و دانسیتی ۹۲/۰ گرم بر سانتی‌متر مکعب تهیه شد.

انیدرید مالیک پلی‌پروپیلنی پیوند خورده (MAPP) از شرکت آلدریچ با دانسیتی ۹۱/۰ گرم بر سانتی‌متر مکعب و با وزن مولکولی ۹۱۰۰ و گرانوی بروکفیلد ۴۰۰۰۰ سانتی‌پواز در دمای ۱۹۰ درجه سلسیوس تهیه گردید.

خاک رس به کاررفته در این تحقیق از انواع مونت موریلیونیت اصلاح شده، با نام تجاری Cloisite ۱۰A بود که شرکت امریکایی Southern-Clay آن را تولید می‌کند.

### آماده‌سازی و ساخت چندسازه

نسبت وزنی ترکیب مواد گوناگون و تیمارهای ساخت

1. Alderich

2. Pellets

جدول ۲. درصد ترکیب مواد و تیمارهای ساخت نمونه‌های چندسازه

تیمار گروه	کد	MCC (wt.%)	MAPP (wt.%)	NC (wt.%)	PP (wt.%)	WF (wt.%)
A	۱	۰	۲/۵	۰	۵۷/۵	۴۰
A	۲	۰	۲/۵	۳	۵۴/۵	۴۰
A	۳	۰	۵/۰	۰	۵۵/۰	۴۰
A	۴	۰	۵/۰	۳	۵۲/۰	۴۰
B	۱	۴	۲/۵	۰	۵۷/۵	۳۶
B	۲	۴	۲/۵	۳	۵۴/۵	۳۶
B	۳	۴	۵/۰	۰	۵۵/۰	۳۶
B	۴	۴	۵/۰	۳	۵۲/۰	۳۶
C	۱	۸	۲/۵	۰	۵۷/۵	۳۲
C	۲	۸	۲/۵	۳	۵۴/۵	۳۲
C	۳	۸	۵/۰	۰	۵۵/۰	۳۲
C	۴	۸	۵/۰	۳	۵۲/۰	۳۲

کمک عکسبرداری میکروسکوپ الکترونی روبشی از دستگاه TEM مدل Zeiss EM۹۰۰ با جریان ولتاژ ۸۰ kV شرکت کفما استفاده شد.

## نتایج

### خواص کششی

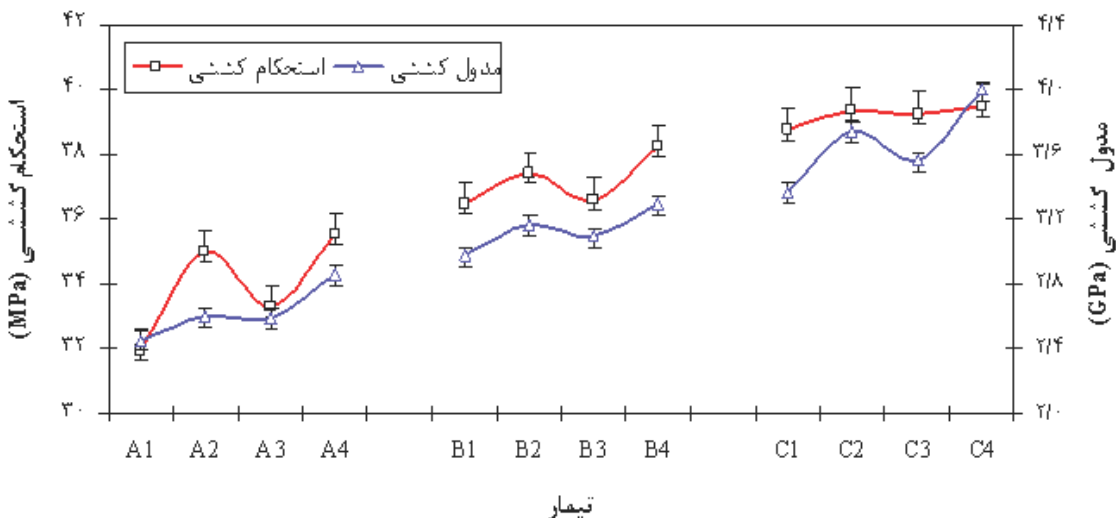
شکل ۱ استحکام و مدول کششی ترکیبات مختلف چندسازه را نشان می‌دهد. همان‌طور که مشخص است، با افزایش استحکام کششی در حالت استفاده از ماتریس پلیمر به همراه جفت‌کننده مالیکی ایجاد شده است. تیمار C۴ دارای حداقل استحکام کششی و تیمار A۱ دارای حداقل استحکام کششی است. مایرز و همکاران (۲۰۰۳) گزارش کردند که چندسازه ساخته شده با ۵۰ درصد چوب و ۵۰ درصد پلیمر به همراه MAPP افزایش ۲۱ درصد در استحکام کششی ایجاد می‌کند [۸]. همچنین استارک و رولندر نیز در گزارش خود مطرح کردند که چندسازه ساخته شده با ۴۰ درصد چوب و ۳ درصد MAPP افزایش ۲۷

### آنالیز حرارتی (TGA)

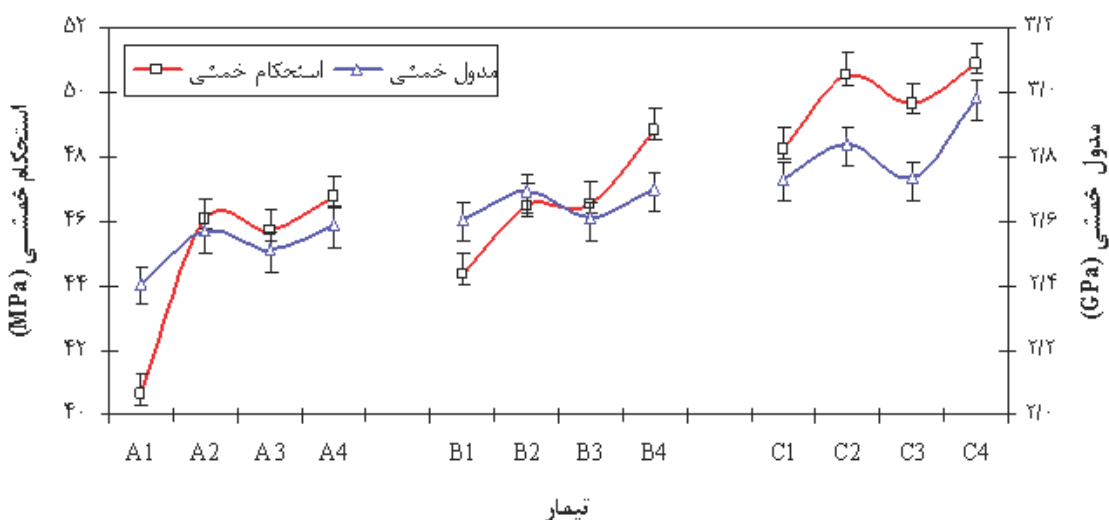
اندازه‌گیری آنالیز حرارتی با استفاده از آنالیزگر حرارتی برای ۸ میلی‌گرم نمونه آزمونی در دامنه دمایی از ۵۰ تا ۶۵۰ درجه سلسیوس با نرخ گرمایی ۱۰ درجه سلسیوس بر دقیقه انجام شد. آنالیز حرارتی با کیفیت بالا ۹۹/۵ درصد نیتروژن، و ۰/۵ درصد اکسیژن در شرایط اتمسفریک با نرخ جریان ۲۰ میلی‌لیتر بر دقیقه برای جلوگیری از جذب اکسیژن صورت گرفت. از هر تیمار آزمایشی ۲ تکرار انجام گرفت.

### مطالعه ریخت‌شناسی میکروسکوپی

خواص مورفولوژیکی چندسازه‌های ساخته شده با استفاده از میکروسکوپ الکترونی (SEM) از نوع Philips XL ۳۰ بروزی شد. سطوح شکست نمونه‌های آزمونی بعد از اندازه‌گیری مقاومت به ضربه با لایه طلا پوشش داده شد. تمام تصاویر با ولتاژ تسربی شده ۲۵ کیلو وات بررسی شدند. برای بررسی تشکیل اتصالات نانو کامپوزیت و مطالعات ریخت‌شناسی به



شکل ۱. مقایسه استحکام و مدول کششی تیمارهای گوناگون چندسازه



شکل ۲. مقایسه استحکام و مدول خمشی تیمارهای گوناگون چندسازه

جفت‌کننده خواص کششی را افزایش می‌دهد. شایان ذکر است مدول کششی نیز رفتار مشابهی با استحکام کششی دارد؛ به طوری‌که حداقل افزایش در تیمار C4 با ۳/۹ گیگاپاسکال بوده که در حدود ۳۲۰ درصد بیش از ماتریس پلی‌پروپیلن خالص است. نیز نتایج نشان داد که افزایش مدول کششی در تیمارهایی که از نانورس و میکروکریستالین سلولز ساخته شده‌اند به اتصال بین سطحی کامل‌تر بین الیاف و ماتریس منجر شده است. همان‌طور که در شکل ۱ دیده می‌شود، خواص

درصد در استحکام کششی ایجاد می‌کند [۹]. بهبود خواص کششی بین مواد لیگنوسلولزی و ماتریس پلیمری در حالت استفاده از جفت‌کننده ایجاد می‌شود. با افروختن MAPP خواص کششی به طور چشمگیر در مقایسه با پلی‌پروپیلن خالص بهبود یافته است. علاوه‌بر آن، تیمارهایی که با درصد بالاتر جفت‌کننده در ساخت چندسازه به کار رفته‌اند استحکام و مدول کششی بهتری دارند. در شکل ۱ مشخص شده که در هر سه گروه (A, B, C) استفاده از ۵ درصد عامل

با افزودن بیشتر میکروکریستالین سلولز به دست آمده است. به طور مثال، خواص خمی در ترکیبات A1 و C1 به ترتیب  $40/3$  و  $43/2$  مگاپاسکال بوده است. افزودن میکروکریستالین سلولز به طور مشخص خواص خمی را همچون خواص کششی بهبود داده است. مانند مکانیسم‌های ذکر شده در بحث قبلی، خواص کششی تیمارهایی که از میکروکریستالین سلولز استفاده شده، افزایش داشته است.

#### مقاومت به ضربه

اثر تیمارهای گوناگون بر مقاومت به ضربه نمونه‌ها در شکل ۳ نشان داده شده است. نتایج مقاومت به ضربه، فاقدار آیزود با افزایش ایندیرید مالیک پلیپروپیلنی، نانورس، و میکروکریستالین سلولز بهبود یافته است. مقاومت به ضربه، در مقایسه با سایر تیمارها، در تیمارهایی که از میکروکریستالین سلولز استفاده شده برتری زیادی دارد. همچنین در ترکیباتی که از مقادیر گوناگون جفت‌کننده مالیکی استفاده شده نیز بهبود چشمگیری در مقایسه با تیمارهای فاقد جفت‌کننده داشته است. چندسازه‌های گروه B و C به طور مشخص استحکام به ضربه بالاتری در مقایسه با گروه A داشته است. به عبارت دیگر، نمونه‌هایی که با مقدار ۸ درصد میکروکریستالین سلولز ساخته شده‌اند، به طور مشخص استحکام به ضربه بیشتری در مقایسه با نوع A (بدون میکروکریستالین سلولز) داشته‌اند. افزودن ایندیرید مالیک پلیپروپیلنی اتصال بین سطحی میان الیاف و ماتریس را برقرار می‌کند. بدین ترتیب، ترک به سختی در فاز داخلی چندسازه به وجود می‌آید یا توسعه می‌یابد.

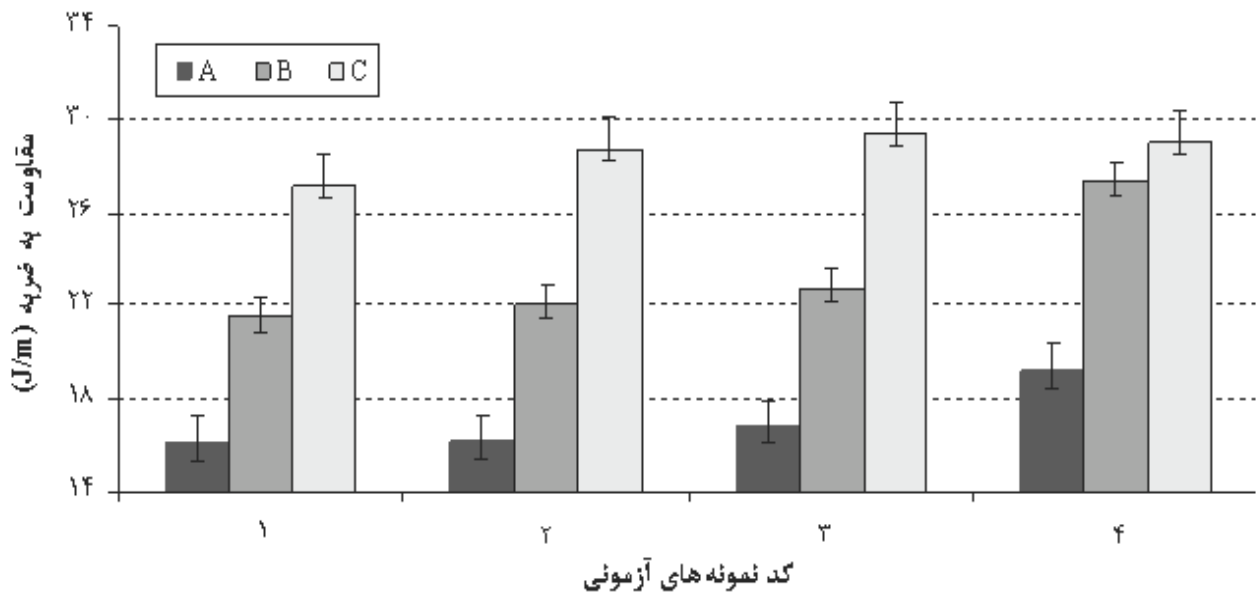
#### ویژگی‌های سطوح شکست

تصاویر میکروسکوپ الکترونی (SEM)، برای بررسی سطوح شکست در نمونه‌های کششی چندسازه، در شکل ۴ آمده است. در تصاویر توزیع و سازگاری بین پرکننده‌ها و ماتریس دیده می‌شود. وجود حفره‌ها در چندسازه‌های ساخته شده در تیمارهای A1 و B1

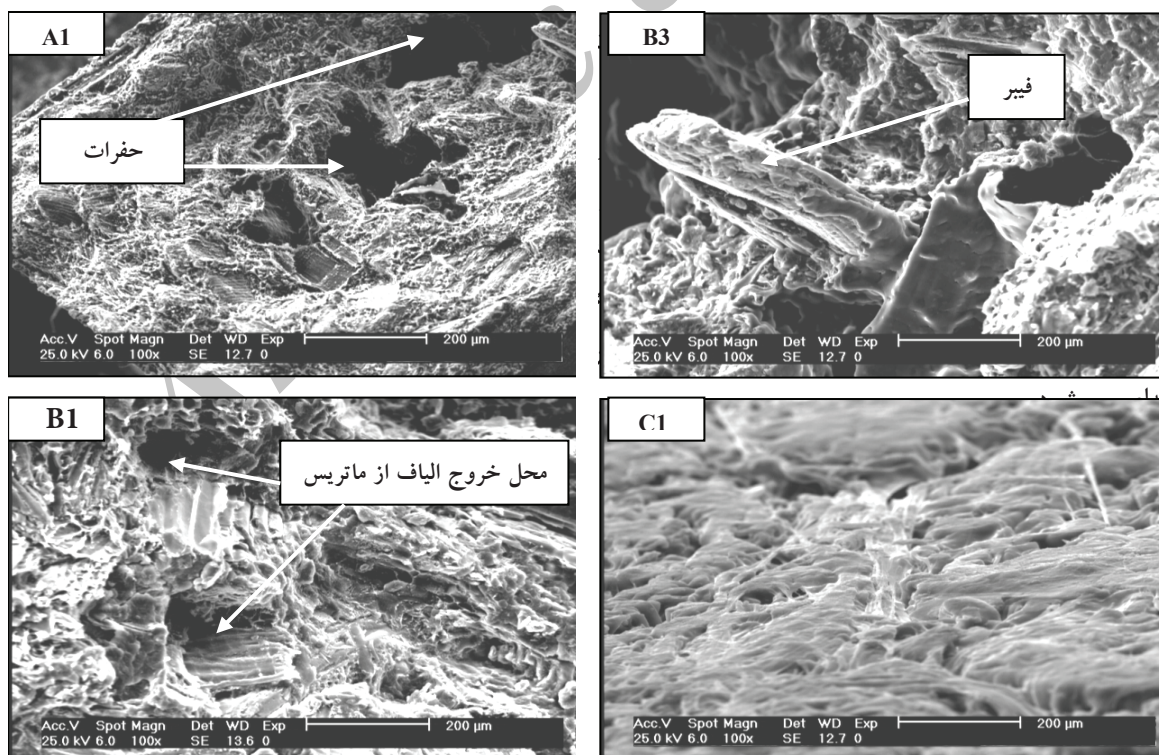
کششی با افزودن نانورس افزایش داشته است. این نتایج نشان می‌دهد که ترکیبات آلی موجود نانورس در ماتریس پلیمر خواص کششی را افزایش می‌دهد [۴]. از آنجا که نانورس سختی بیشتری در مقایسه با ماتریس پلیمری دارد، افزودن این ماده در چندسازه استحکام کششی را تا حد مشخصی افزایش می‌دهد. بهبود استحکام کششی با مقادیر ایندیرید مالیک پلیپروپیلنی در نسبت‌های بیشتر نانورس دیده شده است. این نتایج واکنش قوی بین ماتریس پلیپروپیلن و نانورس را تأیید می‌کند [۱].

#### خواص خمی

شکل ۲ استحکام و مدول خمی چندسازه‌های ساخته شده در تیمارهای گوناگون را نشان می‌دهد. همان‌طور که در شکل ۲ مشخص است، حد اکثر استحکام خمی در محدوده بین ۴۹ تا ۵۱ مگاپاسکال است. حداقل استحکام خمی نیز برای پلیمر پلیپروپیلن در حد  $37/2$  مگاپاسکال بوده است. خواص خمی به طور واضح با تغییرات جفت‌کننده مالیکی (MAPP)، میکروکریستالین سلولز (MCC)، و نانورس در ارتباط بوده است. ترکیبات ساخته شده با میکروکریستالین سلولز نشان داد که دارای بالاترین استحکام و مدول خمی است. در این میان، پلیمر خالص (A1) پایین‌ترین، و تیمار C4 بالاترین استحکام خمی را داشته است. استحکام خمی نیز همچون استحکام کششی رفتار مشابهی داشت؛ هر چند تغییرات آن در مقایسه با استحکام کششی کمتر بود. افزایش خواص خمی در نتیجه بهبود الحقیقی بین ترکیبات مواد در چندسازه به دست آمده است. بیشترین استحکام و مدول خمی در ترکیباتی که از میکروکریستالین سلولز استفاده شده، به دست آمده است. استفاده از ۳ و ۵ درصد نانورس در ترکیبات چندسازه سبب افزایش استحکام خمی از ۴۰ تا ۴۶ مگاپاسکال شده، که با سختی بیشتر صفحات رس و ضریب کشیدگی بالاتر نانورس مرتبط بوده است. همچنین مشاهده شده که افزایش استحکام خمی



شکل ۳. مقایسه مقاومت به خربه فاقدار نمونه‌های گوناگون



شکل ۴. تصاویر میکروسکوپ الکترونی نمونه‌های آزمونی کشش با بزرگنمایی ۱۰۰

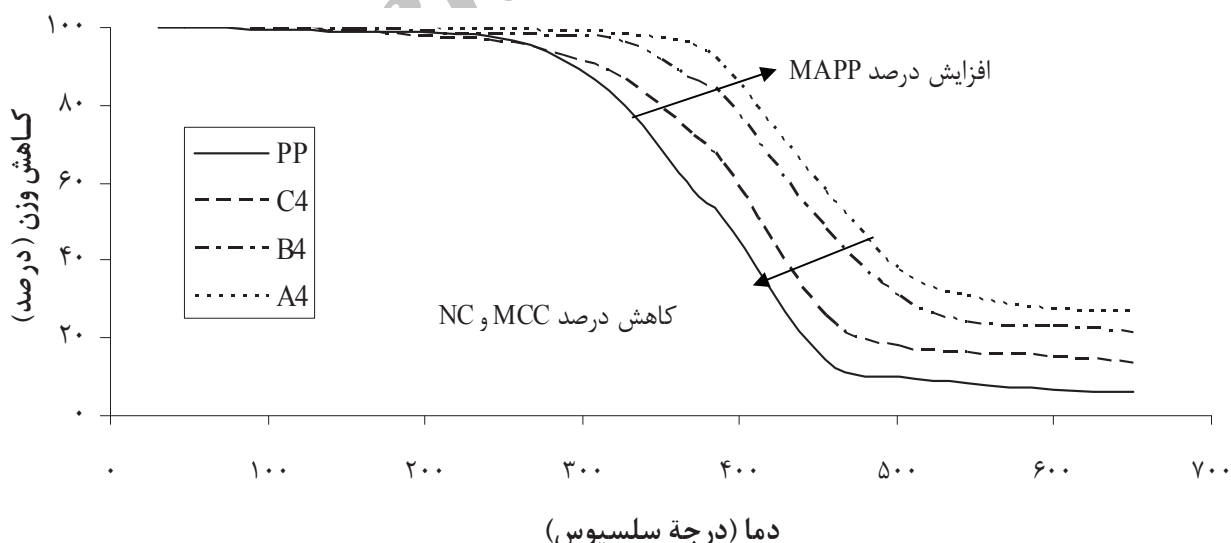
دیده می‌شود. تصاویر بهبود مشخصی را در ترکیباتی که از جفت‌کننده مالیکی استفاده شده را تأیید می‌کند. بهمنظور مشاهده دقیق‌تر ساختار چندسازه چوب پلاستیکی نانورس و تأیید نتایج آزمون اشعه ایکس از تصاویر میکروسکوپ انتقالی TEM استفاده شد.

شکل ۵ تصویر چندسازه پلیپروپیلن الیاف چوب حاوی ۳ درصد نانورس را نشان می‌دهد. همان‌طور که

به‌وضوح دیده می‌شود. تصاویر نشان می‌دهد که سطوح اتصال بین الیاف و ماتریس ضعیف بود و هنگامی که تنفس اعمال شد سبب خارج شدن آسان الیاف از ماتریس و در نهایت، ایجاد حفره و فاصله در چندسازه شد (کد B3). همان‌طور که در شکل دیده می‌شود، در چندسازه C1 عدم کشیدگی و خارج شدن الیاف و نیز اتصال مناسب‌تر بین پرکننده‌ها و ماتریس



شکل ۵. تصویر میکروسکوپ الکترونی انتقالی نمونه‌های چندسازه چوب پلاستیکی با بزرگنمایی ۱۵۰ نانومتر؛ نمونه حاوی ۳ درصد نانورس



شکل ۶. نتایج آنالیز حرارتی پلیپروپیلن خالص و نمونه‌های آزمونی

نانورس بهبود یافته است. همان‌طور که اشاره شد، حضور جفت‌کننده به واکنش داخلی قوی بین ماتریس پلیمر و نانورس می‌انجامد. بیشترین بهبود خواص حرارتی در جفت‌کننده ۵ درصد بهمراه ۳ درصد نانورس بهدست آمده است. و همان‌طور که انتظار می‌رفت، میکروکریستالین سلولز خواص حرارتی را بهبود نبخشید.

### نتیجه‌گیری

بر اساس نتایج بهدست آمده در این بررسی می‌توان گفت:

۱. خواص مکانیکی چندسازه‌های ساخته شده در این بررسی - که از میکروکریستالین سلولز استفاده شده - به طور مشخص در گروه B و C، در مقایسه با گروه A، برتری داشت.
۲. خواص مکانیکی چندسازه‌ها با افزایش درصد جفت‌کننده، سبب اتصال مناسب بین ماتریس پلیمری و پرکننده‌ها شد.
۳. بررسی تصاویر میکروسکوپ الکترونی نشان داد که استفاده از جفت‌کننده مالیکی سبب اتصال بهتر در فاز داخلی می‌شود و حفره‌ها و فضاهای خالی کمتری به وجود می‌آورد.
۴. نتایج آنالیز حرارتی نشان داد که جفت‌کننده مالیکی و نانورس موجب بهبود ثبات حرارتی چندسازه می‌شود. نیز مشخص شد که استفاده از میکروکریستالین سلولز مقاومت حرارتی چندسازه را بهبود نمی‌بخشد.
۵. جدایی نسبی لایه‌ها (لایه‌لایه‌ای) در صورت استفاده از ۳ درصد نانورس سبب تشکیل ساختار درون‌لایه‌ای می‌شود.

در تصویر دیده می‌شود، خطوط تاریک رشتہ‌ای مربوط به لایه‌های نانورس، و مناطق روشن‌تر به ماتریس پلیمر مربوط است. تصویر نشان‌دهنده جدایی نسبی لایه‌ها (لایه‌لایه‌ای) در صورت استفاده از ۳ درصد نانورس است که سبب تشکیل ساختار درون‌لایه‌ای می‌شود.

### خواص حرارتی

تخربی حرارتی در چندسازه‌های چوب پلاستیکی عامل مهمی در فرایند ساخت این نوع محصول است که حداقل حرارت ساخت را در این نوع سازه تعیین می‌کند. مواد چوبی‌ای که در ساخت چندسازه‌های چوب پلاستیکی به عنوان پرکننده استفاده می‌شوند معمولاً در دمای کمتر از ۲۰۰ درجه سلسیوس پهکار می‌روند. تخریب چوب در دماهای بالاتر به خواص نامطلوب (تغییر رنگ و بو و افت خواص مکانیکی) در چندسازه منجر می‌شود. این محدودیت‌ها در نوع و کاربرد پلیمرها نیز وجود دارد [۱۰].

منحنی TGA تابعی برای برآورد افت وزنی نسبت به دماست. شکل ۶ رفتار تجزیه حرارتی پلیمر خالص (پلی‌پروپیلن) و سه تیمار به کاررفته در این بررسی را نشان می‌دهد. همان‌طور که دیده می‌شود، تخریب اولیه در پلیمر خالص در دمای ۲۲۸ درجه سلسیوس شروع شده که افت وزنی معادل ۹۱/۹ درصد را به وجود می‌آورد. با مشاهده سه ترکیب دیگر چندسازه مشخص شد که تخریب اولیه در دیگر نمونه‌ها بین ۳۷۰ تا ۳۹۰ درجه سلسیوس متغیر است. مقاومت حرارتی بالا نشان از بهبود بیشتر حرارتی در نمونه‌های چندسازه A۴ و B۴ دارد. این نتایج به طور مشخص نشان می‌دهد که خواص حرارتی در ترکیبات چندسازه به هنگام استفاده از جفت‌کننده و افزایش

## References

- [1]. Wang, S.-Y., Yang, T.-H., Lin, L.-T., Lin, C.-J., and Tsai, M.-J. (2007). Properties of low formaldehyde-emission particleboard made from recycled wood-waste chips sprayed with PMDI/PF resin. *Building and Environment*, 42 (7): 2472–2479.
- [2]. Nourbakhsh, A., Ashori, A., and Jahan-Latibari, A. (2010). Evaluation of the physical and mechanical properties of medium density fiberboard made from old newsprint fibers. *Reinforced Plastics and Composites*, 29 (1): 5–11.
- [3]. Li, Q., Matuana, L.M. (2003). Surface of cellulosic materials modified with functionalized polyethylene coupling agents. *Journal of Applied Polymer Science*, 88 (2): 278–286.
- [4]. Han, G., Lei, Y., Wu, Q., Kojima, Y., and Suzuki, S. (2008). Bamboo-fiber filled high density polyethylene composites; effect of coupling treatment and nanoclay. *Polymer and the Environment*, 16 (2): 123–130.
- [5]. Ashori, A., and Nourbakhsh, A. (2009). Characteristics of wood–fiber plastic composites made of recycled materials: *Waste Management*, 29 (4): 1291–1295.
- [6]. Zhou, Y., Rangari, V., Mahfuz, H., Jeelani, S., and Mallick, P.K. (2005). Experimental study on thermal and mechanical behavior of polypropylene, talc/polypropylene and polypropylene/clay nanocomposites. *Materials Science and Engineering Part A*, 402 (1-2): 109–117.
- [7]. Annual Book of ASTM Standards (1999). American Society for Testing and Materials, 100 Barr Harbor Dr., West Conshohocken, PA 19428, United States of America.
- [8]. Meyrs, E.G., Chahyadi, I.S., Gonzalez, C., and Coberly, C.A. (1993). Wood fibers/polymer composites: fundamental concepts, processes, and material options. Forest Product Society, Madison, USA.
- [9]. Stark, N.M., and Rowlands, R.E. (2003). Effects of wood fiber characteristics on mechanical properties of wood/polypropylene composites. *Wood Fiber Science*, 35 (2): 167–174.
- [10]. Morreale, M., Scaffaro, R., Maio, A., and La Mantia, F.P. (2008). Effect of adding wood flour to the physical properties of a biodegradable. *Composites Part A*, 39 (3): 503–513.



تاریخ دریافت: ۱۳۹۰/۱۰/۱۶

تاریخ پذیرش: ۱۳۹۱/۵/۱۶

## بررسی آثار پیشاستخراج بر خواص خمیر کاغذسازی و کاغذسازی باگاس در یک سیستم پالایشگاه زیستی

- ❖ علی ابیض؛ کارشناس ارشد، گروه علوم و صنایع چوب و کاغذ، دانشکده منابع طبیعی، دانشگاه تهران، کرج، ایران
- ❖ یحیی همزه؛ دانشیار گروه علوم و صنایع چوب و کاغذ، دانشکده منابع طبیعی، دانشگاه تهران، کرج، ایران
- ❖ علی عبدالخانی؛ استادیار گروه علوم و صنایع چوب و کاغذ، دانشکده منابع طبیعی، دانشگاه تهران، کرج، ایران
- ❖ سحاب حجازی؛ استادیار گروه علوم و صنایع چوب و کاغذ، دانشکده منابع طبیعی، دانشگاه تهران، کرج، ایران

### چکیده

امروزه پالایشگاه زیستی به بخشی از کارخانه‌های خمیر و کاغذ به موضوع روز برای محققانی تبدیل شده که در این زمینه پژوهش می‌کنند. در این تحقیق آثار پیشاستخراج همی‌سلولزها بر فرایند خمیر و کاغذسازی از باگاس بررسی شده است. به همین علت، از روش خودهیدرولیز با آب داغ در دمای  $135^{\circ}\text{C}$  به مدت ۱۰، ۲۰، و  $30^{\circ}\text{C}$  به مدت ۱۰، ۲۰، و  $30^{\circ}\text{C}$  دقتیه استفاده و آثار پیشاستخراج همی‌سلولزها بر خواص خمیر کاغذ حاصله بررسی شد. نتایج نشان داد که استفاده از روش خودهیدرولیز با دمای  $135^{\circ}\text{C}$  به مدت  $30^{\circ}\text{C}$  دقتیه و  $170^{\circ}\text{C}$  درجه سلسیوس به مدت  $10^{\circ}\text{C}$  دقیقه شرایط مناسبی را برای استخراج همی‌سلولزها فراهم می‌کند؛ به طوری که بازده استخراج و مقدار حذف هلوسلولز در این شرایط بهتر ترتیب در حد  $86\%$  و  $11\%$  درصد بود. خمیرسازی از باگاس‌های پیشاستخراج شده در سه قلیاییت فعال،  $14\%$ ، و  $17\%$  درصد نشان داد که هنگام تولید خمیر با کاپای بالا، بازده خمیرسازی از باگاس استخراج شده بیش از باگاس استخراج نشده است، ولی هنگام تولید خمیر قابل رنگبری، بازده خمیرسازی از باگاس استخراج نشده بیشتر است. برای تولید خمیر کاغذ رنگبری شده، بازده خمیرسازی از باگاس استخراج نشده و استخراج شده به ترتیب برابر با  $51/1$  و  $49/3$ ، و عدد کاپای این خمیرها به ترتیب برابر با  $19/3$  و  $18/6$  بود. به علاوه، خمیر کاغذ رنگبری شده حاصل از باگاس استخراج شده خواص مقاومتی کمتری را نشان داد.

واژگان کلیدی: باگاس، پیشاستخراج، پالایشگاه زیستی، خمیر کاغذ سودا، همی‌سلولزها.

## مقدمه

آمونیاکی<sup>۳</sup> (AFEX) پیشنهاد شده که هر کدام معایب و مزایایی دارند. با توجه به نقش همی‌سلولزها در خمیرسازی و خواص کاغذ حاصل از خمیر، استخراج آن‌ها از مواد اولیه لیگنوسلولزی و استفاده از آن برای تولید محصولات جانبی، تأثیرات زیادی بر تمام جنبه‌های صنعت خمیر و کاغذ مثلاً خواص مواد اولیه از نظر تولید خمیر کاغذسازی، خواص کاغذ تولیدی، مانند کاهش مقاومت‌ها، ویژگی آب و پساب و چرخه آب در کاغذسازی، خواهد داشت [۱، ۳، ۴]. بنابراین، با توجه به اهمیت این موضوع در حال حاضر و آینده، در این تحقیق به بخشی از تأثیرات استخراج همی‌سلولزها بر خواص خمیرسازی از باگاس، به عنوان یکی از مهم‌ترین منابع لیگنوسلولزی ایران، پرداخته می‌شود. در این تحقیق، از میان روش‌های نامبرده شده برای استخراج، از روش خودهیدرولیز، به علت بازده بالا و کارایی مناسب و کاربرد متداول و نیز به این سبب که به صورت صنعتی قابلیت اجرا یافته [۲]، استفاده شد.

## مواد و روش‌ها

باگاس استفاده شده در این تحقیق از باگاس منطقه خوزستان و پا همکاری کارخانه کاغذسازی پارس تهیه شد که پس از جداسازی پیت و ناخالصی‌های دیگر مانند سنگ‌ریزه و... به کمک غربال در محوطه آزمایشگاه، برای خشک‌شدن پراکنده و سپس برای یکنواخت‌سازی رطوبت در کيسه‌های پلاستیکی بسته‌بندی شد.

## استخراج همی‌سلولزها

فرایند پیش‌استخراج باگاس با توجه به شرایط مندرج در جدول ۱ و با استفاده از دایجستر گرم‌شونده تهیه خمیر در روغن انجام شد.

## بررسی و تعیین مقدار هولوسلولز و تعیین شرایط تیمار بهینه

در این روش ابتدا ۲/۵ گرم باگاس آسیاب شده با اندازه

زیست‌توده<sup>۱</sup> از منابع مهم انرژی‌های تجدیدشونده است و به هر موجود زنده‌ای که قابلیت رشد و نمو داشته باشد و بر مبنای قوانین طبیعت تقسیم شود، اطلاق می‌شود و جنگل‌ها، اجزای گیاهان، برگ‌ها، موجودات زنده اقیانوس‌ها، زائدات حیوانی، پسماندهای شهری و غذایی و... را شامل می‌شود. این مواد قابلیت ذخیره انرژی را در خود دارند. انرژی خورشیدی که در گیاهان ذخیره می‌شود نیز قابلیت تبدیل به انرژی را دارد. زیست‌توده در میان دیگر انواع منابع انرژی سهم بیشتر و بزرگ‌تری دارد.

امروزه، به جای استفاده از منابع انرژی‌های فسیلی، به استفاده از مواد لیگنوسلولزی - از مهم‌ترین منابع زیست‌توده در جهان - به عنوان پتانسیلی عظیم برای تولید محصولات با ارزش افزوده، مانند سوخت زیستی<sup>۲</sup> و مواد شیمیایی، توجه می‌شود [۱]. و با استقرار واحدهای پالایشگاه‌های زیستی در بخش‌های مختلف صنعتی از جمله کارخانه‌های خمیر و کاغذسازی می‌توان به این مهم دست یافت. بنا به تعریف، پالایشگاه زیستی مکانی است که در آن زیست‌توده به محصولات با ارزش افزوده مانند سوخت، انرژی، و مواد شیمیایی تبدیل می‌شود که در این زمینه بسیار مشابه پالایشگاه‌های نفتی است؛ با این تفاوت که به جای نفت به عنوان ماده خام از زیست‌توده استفاده می‌شود [۲]. با توجه به زیرساختهای اساسی در صنایع خمیر کاغذ، پالایشگاه زیستی، بخشی از کارخانه‌های خمیر و کاغذ محسوب می‌شود. مبنای پالایشگاه زیستی در صنایع خمیر و کاغذ، استخراج همی‌سلولزها قبل از فرایند خمیرسازی است. روش‌های متنوعی برای استخراج همی‌سلولزها مانند هیدرولیز اسیدی (اسید رقیق، اسید غلیظ)، هیدروترمال، خودهیدرولیز، اکسیداسیون تر، لیگنین‌زدایی، تیمار قلیایی، تیمار آهکی، پراکسید قلیایی، چرخه آمونیاکی (ARP)، و انفجار الیاف

1. Biomass

2. Biofuel

3. Ammonia Recycling Percolation

4. Ammonia Fiber Explosion

جدول ۱. شرایط پیش استخراج همی‌سولولزها از باگاس

شرایط استخراج	خودهیدرولیز
محلول استفاده شده	آب داغ
دما (°C)	۱۷۰، ۱۵۵، ۱۴۰
زمان (دقیقه)	۳۰، ۲۰، ۱۰

همکاران [۵] انجام شد. ساخت کاغذ دست‌ساز با توجه به دستورالعمل TAPPI-205-sp-205 انجام گرفت. مقاومت کششی بر اساس دستورالعمل TAPPI-T494-۱۰۳، و مقاومت به ترکیدن بر اساس دستورالعمل T-۲۰-om-۲۰-om-۱۰ اندازه‌گیری شد.

## نتایج

### نتایج استخراج

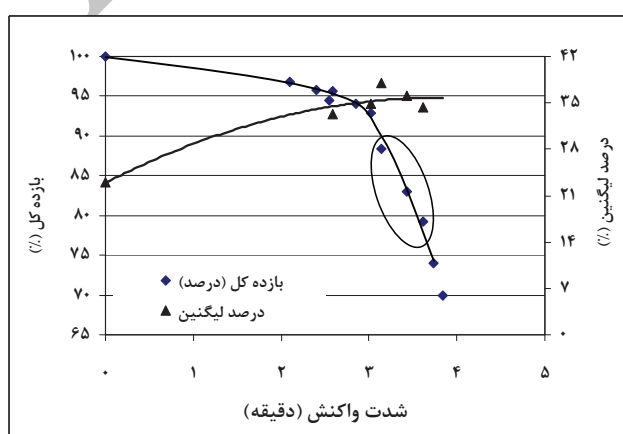
نتایج حاصل از استخراج همی‌سولولزها با تیمارهای گوناگون، در جدول ۲، ارائه شده است. در این جدول، برای تعیین اثر متغیرهای دما، زمان، و pH بر بازده استخراج، از عامل شدت واکنش استفاده شده که با فرمول ۱ محاسبه می‌شود. در این فرمول،  $t$  مدت زمان تیمار به دقیقه، و  $T$  دمای تیمار به درجه سلسیوس است. نتایج حاصل از این محاسبه و رسم نمودار بازده کل به صورت تابعی از عامل شدت تیمار در شکل ۱ ارائه شده است.

$$\text{بازده کل} = \text{ Severity factor} = \log_{10} \left( t \times \exp \left[ \frac{T - 100}{14.75} \right] \right) \quad (1)$$

ذرات بین غربال با مش ۶۰-۴۰ به همراه ۸۰ میلی‌لیتر آب مقطر داغ و ۰/۵ میلی‌لیتر اسید استیک و ۱ گرم کلریت سدیم (۸۰ درصد) در ظرف ۲۵۰ میلی‌لیتری قرار داده و ظرف در حمام بن-ماری با دمای ۷۰ °C قرار داده شد. سپس، در هر یک ساعت، ۰/۵ میلی‌لیتر اسید استیک و ۱ گرم کلریت سدیم به مخلوط اضافه شد. این کار ۶ تا ۸ ساعت ادامه یافت. در پایان، پس از یک شبانروز، نمونه‌ها با آب مقطر شست و شو داده شد و پس از خشک شدن در اتو (دمای ۶۰ °C) وزن مواد فیری باقی مانده تعیین و درصد هولوسولولز محاسبه شد.

### تولید خمیر کاغذ به روش شیمیایی سودا

برای تهیه خمیر از روش سودا با شرایط قلیاییت فعال ۱۱، ۱۴، و ۱۷ درصد بر مبنای وزن خشک باگاس، به مدت ۶۰ دقیقه و دمای ۱۶۵ °C استفاده شد و پس از شست و شوی خمیر، بازده و عدد کاپای خمیرهای تهیه شده مطابق با شرایط استاندارد تعیین شد. بعد از خمیرسازی، رنگبری خمیرهای منتخب با روش ECF طبق شرایط همزه و



شکل ۱. روند تغییرات بازده و مقدار لیگنین باگاس در تیمار خودهیدرولیز در شرایط گوناگون

جدول ۲. شرایط و نتایج حاصل از پیش‌استخراج همی‌سلولزها با روش تیمار با آب داغ

دما (°C)	زمان (دقیقه)	شدت واکنش (درصد)	بازده استخراج (درصد)	هولوسلولز (درصد)	باگاس خام
۷۳/۴	۱۰۰	-	-	-	
-	۹۶/۸۵	۲/۱۰۴	۱۰		
-	۹۰/۸۴	۲/۴۰۵	۲۰	۱۳۵-۱۴۰	
۶۶/۸	۸۶/۶۹	۲/۵۸۱	۳۰		
-	۹۴/۵۵	۲/۵۴۶	۱۰		
-	۸۹/۰۳	۲/۸۴۷	۲۰	۱۵۰-۱۵۵	
۶۵/۲	۸۲/۹۱	۳/۰۲۳	۳۰		
۶۵	۸۶/۴۱	۳/۱۳۵	۱۰		
۶۴	۸۳/۰۶	۳/۴۳۶	۲۰	۱۷۰-۱۷۵	
۶۵/۶	۷۹/۲۴	۳/۶۱۲	۳۰		

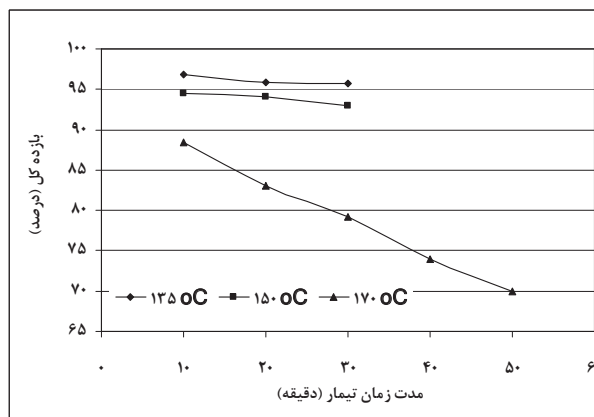
نمایان می‌شوند. مکانیسم هیدرولیز همی‌سلولزها در تیمار خودهیدرولیز بهوسیلهٔ یون هیدرونیوم ( $H_3O^+$ ) کاتالیز می‌شود. بدین صورت که اسیدهای منتج شده از هیدرولیز گروه‌های اورونیک و استیل ناشی از همی‌سلولزها، باعث کاتالیز هیدرولیز پیوندهای بین همی‌سلولزها و لیگنین و هیدرولیز کربوهیدرات‌ها می‌شود. به عبارت دیگر، در فرایند خودهیدرولیز، یون هیدرونیوم از اسید استیک به وجود می‌آید که یکی از محصولات استیل‌زادی از همی‌سلولزهاست و به عنوان کاتالیز عمل می‌کند و سبب بهبود سیستیک واکنش می‌شود. طبق بررسی‌های لاواراک و همکاران (۲۰۰۲) در این فرایند نیز افزایش دمای‌لایه‌های محافظ لیگنین اطراف الیاف همی‌سلولزها را نرم می‌کند و سبب می‌شود که اسید باعث هیدرولیز همی‌سلولزها به شکل پلی‌ساقاریدها و مونوساقاریدهای، به طور عمدۀ زایلوز و آرایینوز، شود.

در شکل ۲ اثر دما و مدت زمان تیمار بر بازده کل نشان داده شده است. مشاهده می‌شود که در دمای ۰°C ۱۳۵ و ۱۵۰، افزایش مدت زمان تیمار سبب کاهش بازده با شبیه ملایمی می‌شود، ولی در دمای ۱۷۰°C افزایش مدت زمان تیمار سبب کاهش شدید بازده استخراج می‌شود.

مالحظه می‌شود که در تیمار با شرایط شدت کمتر از ۲/۵ دقیقه، مقدار بازده کاهش زیادی ندارد، اما با افزایش شدت تیمار، مقدار بازده سریع کاهش می‌یابد که با تخریب کربوهیدرات‌های باگاس مرتبط است. محققانی چون راسل و همکاران (۲۰۰۶)، یان و همکاران (۱۹۸۳)، والفورد (۲۰۰۸) ترکیب شیمیایی باگاس را شامل حدود ۵۰ درصد سلولز، ۲۵ درصد همی‌سلولزها، و ۲۵ درصد لیگنین برآورد کرده‌اند. بنابراین، با توجه به نتایج به دست آمده اندازه‌گیری مقدار هولوسلولز در باگاس پیش‌استخراج شده، می‌توان نتیجه گرفت که در بازده استخراج حدود ۹۰-۸۵ درصد، حدود ۳۰-۵۰ درصد از همی‌سلولزهای باگاس بر اثر فرایند خودهیدرولیز استخراج شده است.

بر اساس پژوهش‌های صورت گرفته، تا حدود ۳۰ درصد از همی‌سلولزهای باگاس با روش خودهیدرولیز قابل استخراج‌اند؛ چنانکه یی‌چالو (۲۰۱۰) ۱۰ تا ۲۰ درصد همی‌سلولزهای باگاس، و گیمز (۲۰۰۶) بیش از ۵۵ درصد همی‌سلولزهای باگاس را با این روش استخراج کردند.

بر اساس تحقیقات یی‌چالو (۲۰۱۰)، کاروال‌هیرو (۲۰۰۸)، و لو (۲۰۱۱) در روش خودهیدرولیز، همی‌سلولزهای حل شده عمده‌تاً به صورت اولیگوساقاریدها



شکل ۲. اثر عوامل متغیر بر بازده کل استخراج باگاس در شرایط خودهیدرولیز

شرایط مناسب، تولید خمیرکاغذ با قلیاییت ۱۱، ۱۴، و ۱۷ درصد انجام شد که نتایج تهیه خمیرکاغذسازی در جدول ۳ ارائه شده است. نتایج جدول ۳ نشان می‌دهد که قلیاییت ۱۱ درصد برای تولید خمیرکاغذ قابل رنگبری از باگاس استخراج شده و نشده مناسب نیست و عدد کاپای خمیرکاغذ تولیدشده زیاد است. با افزایش قلیاییت تا ۱۴ درصد، اگرچه بازده قابل قبول افزایش و عدد کاپا کاهش می‌یابد، خمیرکاغذ تولیدشده قابل رنگبری نیست. بنابراین، قلیاییت ۱۷ درصد برای تهیه خمیرکاغذ قابل رنگبری از

با توجه به اینکه مواد لیگنوسلولزی پیش استخراج شده برای تولید خمیرکاغذ بررسی شده، شرایطی از استخراج انتخاب شد که در آن شرایط، سلولز باگاس تخریب نشده باشد. بنابراین، با توجه به مقدار بازده استخراج و مقدار هولوسلولز دمای ۱۳۵°C در مدت زمان ۳۰ دقیقه و دمای ۱۷۰°C در مدت زمان ۱۰ دقیقه برای پیش استخراج همی‌سلولزهای باگاس انتخاب شد.

#### نتایج خمیرکاغذسازی

در مرحله تولید خمیرکاغذ، برای تعیین حد بهینه و

جدول ۳. نتایج مراحل خمیرکاغذسازی

(اعداد ارائه شده داخل پرانتز در ستون بازده غربال مربوط به محاسبه بازده با درنظر گرفتن بازده استخراج و بر اساسی باگاس تیمار نشده اولیه‌اند)

		قلیاییت فعال ۱۷ درصد				قلیاییت فعال ۱۴ درصد				قلیاییت فعال ۱۱ درصد				شماره تیمار
		بازده غربال (%)	عدد کاپا (%)	بازده غربال (%)	عدد کاپا (%)	بازده غربال (%)	عدد کاپا (%)	بازده غربال (%)	عدد کاپا (%)	بازده غربال (%)	عدد کاپا (%)	بازده غربال (%)	عدد کاپا (%)	
۱۹/۲۷	.	۵۱/۱	۲۸/۴	۲/۴۶	۴۶/۲۷	۴۰	۱۰/۵۹	۴۵/۱۳	۱۰/۵۹	۴۵/۱۳	۱۰/۵۹	۴۵/۱۳	۱۰/۵۹	باگاس تیمار نشده
۱۸/۵۶	.	۵۶/۹۱ (۴۹/۳۳)	۲۶/۶	۰/۱۷	۵۶/۳۰ (۴۸/۸۱)	۵۴	۶/۵۴	۵۲/۰۱ (۴۵/۰۸)	۶/۵۴	۵۲/۰۱ (۴۵/۰۸)	۶/۵۴	۵۲/۰۱ (۴۵/۰۸)	۶/۵۴	۱۳۵°C ۳۰ دقیقه
۲۰/۷۵	.	۵۸/۹۵ (۵۰/۳۴)	۳۰	۰/۰۷	۵۸/۰۹ (۴۹/۶۰)	۵۷	۰/۶۱	۵۷/۷۰ (۴۹/۲۷)	۰/۶۱	۵۷/۷۰ (۴۹/۲۷)	۰/۶۱	۵۷/۷۰ (۴۹/۲۷)	۰/۶۱	۱۷۰°C ۱۰ دقیقه

بخش چشمگیری از همی‌سلولزها و تخریب سلولز در جریان تیمار استخراج همی‌سلولزهاست.

خمیرهای تولید شده با قلیاییت ۱۷ درصد برای رنگ‌بری انتخاب شدند. نتایج رنگ‌بری و خواص مقاومتی کاغذهای حاصله در جدول ۴ ارائه شده است. در فرایند تولید، خمیر کاغذ پیش‌استخراج همی‌سلولزها، منجر به کاهش مقدار پیوندهای درون بافت کاغذهای ساخته شده از مواد اولیه تیمار شده می‌شوند و مقاومت‌های کاغذ کاهش می‌یابد.

باگاس استخراج شده و استخراج نشده توصیه می‌شود. در قلیاییت ۱۷ درصد، استخراج همی‌سلولزها سبب افزایش بازده خمیرسازی از باگاس پیش‌استخراج شده در کاپای یکسان در مقایسه با باگاس استخراج نشده می‌شود. این افزایش بازده نسبت به وزن خشک باگاس تیمار شده است، ولی نسبت به وزن خشک باگاس تیمار نشده، فرایند استخراج همی‌سلولزها سبب کاهش بازده خمیرسازی نسبت به وزن خشک باگاس اولیه مورد استفاده برای خمیرسازی شده (اعداد داخل پرانتز در ستون بازده) که به سبب خروج

جدول ۴. خواص مقاومتی و نتایج مقایسه‌ای رنگ‌بری خمیر کاغذهای تولید شده با استفاده از باگاس استخراج نشده و استخراج شده در شرایط گوناگون

نوع خمیر	عدد کاپا (DE)	رنگ‌بری بعد از توالی DE (درصد)	روشنی خمیر (%) ISO	مقاومت به کشش (Nm/g)	مقاطومت به ترکیدن (KPa.m <sup>2</sup> /g)	مقاطومت به
حاصل از باگاس تیمار نشده	۵/۶۸	۹۵	۸۳/۲۶	۶۵/۴۲	۳/۳۷	
۱۳۵ °C ۳۰ دقیقه	۴/۹۱	۹۷/۱	۸۵/۳۲	۵۴/۲	۲/۸۹	
۱۷۰ °C ۱۰ دقیقه	۷/۶	۹۴/۳	۸۴/۷۸	۴۹/۲۹	۲/۳۶	

### نتیجه‌گیری

تیمار شده در مقایسه با نمونه‌های تیمار نشده نشان می‌دهد که طبق محاسبات انجام شده معلوم شد حدود ۳۰-۵۰ درصد از همی‌سلولزهای باگاس بر اثر فرایند خودهیدرولیز استخراج شده است. نتایج حاصل از مرحله خمیرسازی مقدار بازده کمتری را در تمام نمونه‌های تیمار شده در مقایسه با نمونه‌های تیمار نشده نشان می‌دهد. اندازه‌گیری مقاومت‌های کاغذ نیز مقدار مقاومت به کشش و مقاومت به ترکیدن کمتری را

در این تحقیق اثر پیش‌استخراج همی‌سلولزها به روش خودهیدرولیز با استفاده از آب داغ در فرایند خمیر و کاغذسازی بررسی شد. در این مرحله از تحقیق، مشخص شد که استخراج همی‌سلولزها در دمای ۱۳۵ °C و مدت زمان ۱۰ دقیقه بهترین شرایط برای عمل پیش‌استخراج است. مقایسه نتایج حاصل از اندازه‌گیری مقدار هولوسلولزها، استخراج مقدار چشمگیری از همی‌سلولزها را از باگاس‌های

که فرصت انجام دادن این پژوهش را در قالب طرح با قرارداد به شماره ۸۷۳۰۰۸۹۰ فراهم کردند، قادرانی می‌شود.

برای نمونه‌های تیمارشده در مقایسه با نمونه‌های تیمارنشده نشان داد.

### سپاس‌گزاری

از صندوق حمایت از پژوهشگران و فناوران کشور

Archive of SID

## References

- [1]. Cheng, H., Huaiyn, Z., Shiyu, F., and Lucian, L. A. (2010). Alkali extraction of hemicelluloses from depithed corn stover and effected on Soda-AQ pulping. *Bioresources*, 11(1): 196-206.
- [2]. Carvalheiro, F., Luis, C., and Francisco, M. (2008). Hemicellulose biorefineries: a review on biomass pretreatment. *Journal of Scientific & Industrial Research*, (67): 849- 864.
- [3]. Al-Dajani, W., and Tschirne, U. (2008). Pre-extraction of hemicelluloses and subsequent Kraft pulping. Part I. Alkaline extraction. *TAPPI Journal*, 7(6): 3-8.
- [4]. Lei, Y., Liu, S., Li, J. and Sun, R. (2010). Effect of hot-water extraction on alkaline pulping of bagasse. *Biotechnolgy Advances*, (10): 10-16.
- [5]. Hamzeh, Y., Abyaz, A., Mirfatahi, M., and Abdokhani, A. (2011). Application of surfactants for improving soda pulping of bagasse. *Journal of Chemistry and Chemistry Engineering of Iran*, 29(2): 85-90.
- [6]. Rossell, C.E.V., Pradella J.G.C., Gomez E.O. and Squina Centro de Cienciae, F.M. (2006). Physical conditioning unit of the sugarcane biomass feedstock: Sugarcane bagasse and sugarcane trash-PPDP1, Workshop on Hydrolysis Route for Cellulosic Ethanol from Sugarcane, Centro de Ciência e Tecnologia do Bioetanol, February 10-11th, 2009 - Campinas - SP, Brazil, p 30.
- [7]. Youn, W. H., Edwin, A., and Ciegler, A. (1983). Chemical and physical properties of sugarcane bagasse irradiated with  $\gamma$  (gamma) Rays. *Journal of Agricultural and Food Chemistry*, (31): 34-38.
- [8]. Walford, SN. (2008). Sugarcane Bagasse: How Easy Is It To Measure Its Constituents?, Proceedings. Congress of the South African Sugar Technologists Association, (81): 266-273.
- [9]. Yichao, L. Shijie, L. Jiang, L., and Runcang, S. (2010). Effect of hot-water extraction on alkaline pulping of bagasse. *Biotechnology Advances*, (10): 10-16.
- [10]. Gamez, S., Gonzalez-Cabriales, J., Alberto Ramirez , J., Garrote, G., and Vazquez, M. (2006). Study of the hydrolysis of sugar cane bagasse using phosphoric acid. *Journal of Food Engineering*, (74): 78-88.
- [11]. Lu, H., Hu, R., Ward, A., E.Amidon, T., Liang, B., and Liu, S. (2011). Hot-water xtraction and its effect on soda pulping of aspen woodchips. *Biomass & Bioenergy*, (1): 10-16.
- [12]. Lavarack, B.P., Gri(nb), G.J., and Rodmanc, D. (2002). The acid hydrolysis of sugarcane bagasse hemicellulose to produce xylose, arabinose, glucose and other products. *Biomass and Bioenergy*, (23): 367-380.

تاریخ دریافت: ۱۳۹۱/۱۲/۲

تاریخ پذیرش: ۱۳۹۱/۱۲/۲۱

## بررسی استفاده از خمیر کاغذ شیمیایی مکانیکی کاه گندم در ساخت کاغذ فلوتینگ

- ❖ احمد جهان لتبیاری؛ کارشناس ارشد، گروه علوم و صنایع چوب و کاغذ، دانشکده منابع طبیعی، دانشگاه تهران، کرج، ایران
- ❖ آژنگ تاجدینی؛ دانشیار گروه علوم و صنایع چوب و کاغذ، دانشکده منابع طبیعی، دانشگاه تهران، کرج، ایران
- ❖ سید جواد سپیده‌دم؛ استادیار گروه علوم و صنایع چوب و کاغذ، دانشکده منابع طبیعی، دانشگاه تهران، کرج، ایران
- ❖ محمدعلی حسینی؛ استادیار گروه علوم و صنایع چوب و کاغذ، دانشکده منابع طبیعی، دانشگاه تهران، کرج، ایران
- ❖ رضا حسین‌پور؛ استادیار گروه علوم و صنایع چوب و کاغذ، دانشکده منابع طبیعی، دانشگاه تهران، کرج، ایران
- ❖ محمد گازا؛ استادیار گروه علوم و صنایع چوب و کاغذ، دانشکده منابع طبیعی، دانشگاه تهران، کرج، ایران

### چکیده

این بررسی با هدف ارائه روشنی برای ساخت خمیر کاغذ از کاه گندم انجام گرفت تا بتوان آن را در مقیاس کوچک استفاده و جایگزین بخشی از خمیر کاغذ تولید شده از کارتون کنگره‌ای کهنه کرد. بدین‌منظور، خمیر کاغذ با تغییر مقدار قلیاییت فعال (NaOH) در چهار سطح ۱۰، ۱۲، ۱۴، و ۱۶ درصد (بر مبنای وزن خشک کاه گندم) و زمان پخت ۴۰ دقیقه و دمای پخت ۹۵ درجه سانتی‌گراد تهیه شد. بازده بعد از پخت خمیر کاغذها بین ۶۴/۶ تا ۷۲/۷ درصد، و بازده کل بعد از جداسازی الیاف بین ۵۵/۴۵ تا ۵۸/۳ درصد متغیر بود. درجه روانی خمیر کاغذهای پالایش نشده نیز بین ۷۰/۸ تا ۷۹/۰ میلی‌لیتر استاندارد کانادایی تغییر کرد. خمیر کاغذ تا درجه روانی حدود ۳۵۰ پالایش شد و پس از آن ویژگی‌های کاغذ دست‌ساز از آن‌ها اندازه‌گیری شد. دانسیتی کاغذ بین ۴۳۷ تا ۴۸۹ کیلوگرم بر متر مکعب، شاخص مقاومت به بارشدن بین ۶/۵۱-۷/۹۱ mN.m<sup>۲</sup>/g، و شاخص مقاومت به کشش بین ۲۹/۲-۳۰/۸ N/m/g استاندارد کانادایی شد. با توجه به اینکه اختلاف معنی‌داری در سطح اعتماد ۹۹ درصد بین ویژگی‌های مقاومتی خمیر کاغذ دیده نشد، بنابراین، خمیر کاغذ تهیه شده با ۱۰ درصد قلیاییت فعال، ۴۰ دقیقه زمان پخت، و ۹۵ درجه سانتی‌گراد دمای پخت به عنوان جایگزینی برای خمیر کاغذ کارتون کنگره‌ای کهنه ارزیابی شد. ویژگی‌های خمیر کاغذ پالایش شده تا درجه روانی ۳۶۵ میلی‌متر استاندارد کانادایی برتر از خمیر کاغذ از کارتون کنگره‌ای کهنه اندازه‌گیری شد. با توجه به برتری مقاومتی، از این خمیر کاغذ می‌توان به عنوان تقویت‌کننده خمیر کاغذ کارتون کنگره‌ای کهنه استفاده کرد.

**واژگان کلیدی:** بازده، خمیر کاغذ شیمیایی-مکانیکی، کاه گندم، کاغذ فلوتینگ، ویژگی‌های مقاومتی

## مقدمه

بررسی شده از خصوصیات مقاومتی بهتری برخوردار بود. خمیر کاغذ کاه گندم در مقایسه با خمیر کاغذ سولفیت سوزنی برگان به پالایش کمتری نیاز داشت. راجا و ایرماک (۱۹۹۳) با استفاده از کربنات سدیم و هیدروکسید سدیم به تهیه کاغذ فلوتینگ از کاه گندم اقدام کردند. نتایج کار آنها نشان داد که پختهای حاوی هیدروکسید سدیم، آسان‌تر پالایش می‌شود و انرژی مصرفی کمتری لازم دارد [۴]. همچنین، بر اثر کم شدن هیدروکسید سدیم، زمان پخت طولانی‌تر می‌شود و مقدار کربوهیدرات‌های حل نشده افزایش می‌یابد. این خمیر کاغذ بازده بیشتری دارد و در مصرف هیدروکسید سدیم کمتر، کاغذ مقاومتی را برای ساخت کاغذ لایه مواج میانی، تولید می‌کند. مکین و جاکوب (۱۹۹۷) ساقه گندم واریته Madisen ایالات متحده را بعد از پیش‌بخاردهی، تحت تأثیر روش سودا-آنتراکینون در دو فاز مایع و گاز قرار دادند و نتیجه گرفتند که تحت خمیر کاغذسازی سودا-آنتراکینون، خمیر کاغذهای قابل رنگبری در عدد کاپای ۱۰-۱۲ و بازده حدود ۴۴ درصد تولید می‌شود. نیز نتیجه گرفتند که مقاومت به کشش و مقاومت به پاره شدن کاغذ ساخته شده از خمیر کاغذ کاه گندم کاملاً رنگبری شده مناسب کاغذ ظرفی و قابل مقایسه با مخلوط پهن برگان است [۵].

فرایнд سولفیت اسیدی چون خمیر کاغذهایی با مقاومت کم تولید می‌کند، چندان برای کاغذسازی از کاه گندم مناسب نیست؛ در حالی که روش خمیر کاغذسازی سولفیت خشنی از روش‌های مناسب خمیر کاغذسازی از کاه گندم است. ولی فرایند خمیر کاغذسازی NSSC از کاه، پیچیده‌تر از خمیر کاغذسازی NSSC با چوب است و مشکل دیگر این است که برخی کارخانه‌ها نتوانسته‌اند بازده مورد انتظار (۷۰-۷۵ درصد) را به دست آورند و بازده خمیر کاغذسازی محدود (۵۵-۵۸ درصد) بوده است.

جیاسینگام (۱۹۹۱) معتقد است که با انتخاب تجهیزات و روش مناسب می‌توان از بخش عمدتی از

به سبب محدودبودن منابع چوبی و تحلیل رفتنه آن، اتکا به این منابع برای تولید کاغذ و خمیر کاغذ، منطقی به نظر نمی‌رسد. بنابراین، با توجه به تقاضای بازار و فشارهای زیست‌محیطی، منابع تأمین ماده اولیه صنایع خمیر کاغذ، از چوب به مواد غیر چوبی و پسماندهای کشاورزی تغییر کرده است [۱]. در این راستا، از انواع منابع الیافی، مانند جنگلهای دست‌کاشت از درختان سریع‌الرشد، بازیافت کاغذ، و الیاف منابع لیگنوسلولزی غیر چوبی از پسماندهای کشاورزی، برای تأمین ماده اولیه کاغذسازی استفاده می‌شود [۲].

توجه روزافزون به استفاده از منابع الیاف غیر چوبی، به‌ویژه پسماندهای کشاورزی در ساخت خمیر کاغذ، موجب توسعه و گسترش تحقیقات در سراسر جهان برای دست‌یابی به فرایندهای مناسب خمیر کاغذسازی از این منابع مهم شده است. این تحقیقات گستره وسیعی از منابع الیاف غیر چوبی را پوشش داده است. در بین منابع الیاف غیر چوبی، کاه غلات، به‌ویژه کاه گندم، بیشترین اهمیت را در دنیا و ایران دارد. در تولید خمیر کاغذ از کاه گندم، گستردگری و متداول‌ترین فرایند خمیر کاغذسازی، فرایند سودا است. در این فرایند، هیدروکسید سدیم و کربنات سدیم‌اند، ولی اغلب اکسیژن یا آنتراکینون نیز به فرایند افزوده می‌شود و دما به‌طور معمول بین ۱۴۰ تا ۱۸۰ درجه سانتی‌گراد است.

لاتروب (۱۹۷۱) خصوصیات پالایش‌پذیری و مقاومت‌های خمیر کاغذ از پنج نوع پسماند محصولات کشاورزی از جمله کاه گندم ساخته شده با روش سودا را با خمیر کاغذ از چند گونه چوبی مقایسه کرد [۳]. خمیر کاغذهای تهیه شده از پسماندهای محصولات کشاورزی از نظر تمام خصوصیات مقاومتی، به‌جز مقاومت به پاره شدن، از خمیر کاغذ چوب مطلوب‌تر بودند. خمیر کاغذ سودای تهیه شده از کاه گندم در مقایسه با همه گونه‌های چوبی و غیر چوبی

کاغذ با استفاده از یک روش ساده بررسی شد. امکان استفاده از خمیرکاغذ تولیدشده در ترکیب با خمیرکاغذ از کارتون کنگره‌ای کهنه برای ثامین بخشی از الیاف مورد نیاز تولید کاغذ بسته‌بندی نیز ارزیابی شد.

## مواد و روش‌ها

### مواد اولیه

ساقه‌گندم مورد نیاز این بررسی از مزارع کشت گندم در شهرستان کرج تهیه و به دانشکده کشاورزی و منابع طبیعی دانشگاه آزاد اسلامی واحد کرج، آزمایشگاه گروه علوم و صنایع چوب و کاغذ، منتقل شد. پس از جداسازی برگ و دانه‌ها، ساقه‌ها به قطعاتی به طول ۲ تا ۳ سانتی‌متر خرد شدند. کاه خردشده کاملاً با هم مخلوط و در کيسه‌های پلاستیکی بسته‌بندی شد.

### تهیه خمیرکاغذ

در این تحقیق، از روش پخت CMP<sup>۱</sup> (فرایند شیمیایی مکانیکی) با استفاده از هیدرولوکسید سدیم در دمای ۹۵ درجه سانتی‌گراد و زمان پخت ۴۰ دقیقه استفاده شد. از چهار مقدار NaOH، ۱۰، ۱۲، ۱۴، و ۱۶ درصد (بر مبنای وزن خشک کاه)، استفاده و برای هر پخت از ۱۰۰ گرم کاه گندم و نسبت مایع پخت به کاه معادل ۱:۸ استفاده شد. پس از پایان هر پخت، pH و قلیایی باقی‌مانده مایع پخت سیاه، با روش تیتراسیون به کمک اسید کلریدریک اندازه‌گیری شد. بعد از هر پخت، پالایش اولیه (جداسازی الیاف) خمیرکاغذ با استفاده از پالایشگر آزمایشگاهی صورت گرفت.

در پایان مرحله جداسازی الیاف، ابتدا به کمک دو الک با اندازه سوراخ‌های ۱۴ و ۲۰۰ مش، ذرات واژده (Reject) از الیاف خمیرکاغذ قابل قبول (Accept) جدا شد. ذرات باقی‌مانده بر روی الک ۱۴ جزء واژده، و الیاف باقی‌مانده بر روی الک ۲۰۰ جزء خمیرکاغذ قابل قبول هستند. از مجموع واژده و بازده قابل قبول خمیرکاغذ، بازده کل خمیرکاغذ پالایش شده به دست آمد.

این مشکلات در کارخانه‌های خمیرکاغذ نیمه‌شیمیایی اجتناب کرد [۶].

علی و همکاران (۱۹۹۱) دریافتند که با فرایند ناپیوسته خمیرکاغذسازی به روش سولفات خنثی از کاه گندم می‌توان خمیرکاغذ با بازده بیشتر یا حتی زیادتر از فرایندهای کرافت یا سودا تهیه کرد [۷].

کاپلیتی و مارزیتی (۱۹۹۱) تأثیر فرایند انفجاری با بخار آب را بر روی خواص خمیرکاغذ از کاه گندم بررسی کردند. تیمارهای انفجاری با بخار آب در یک مقیاس آزمایشگاهی، تحت شرایط دما، فشار، و زمان متفاوت با پیش‌تیمار یا بدون پیش‌تیمار، انجام شد. خواص کاغذ این خمیرکاغذها، مشابه یا در بعضی موارد، حتی بهتر از خواص خمیرکاغذهای به دست آمده با روش‌های ناپیوسته متدائل بود. از طرف دیگر، میزان بیشتر نرمه خمیرکاغذهای کاه نیز نقش مهمی در افزایش مقاومت ورقه داشت [۲].

پیت-کونیل و همکاران (۲۰۰۱) بررسی پتانسیل کاه گندم برای تولید خمیرکاغذ شیمیایی-مکانیکی مناسب برای ساخت کاغذ کنگره‌ای را به سرانجام رساندند و بیان کردند که می‌توان ترکیب‌های متفاوت خمیرکاغذ شیمیایی-مکانیکی از کاه گندم را به همراه ضایعات کارتون کنگره‌ای کهنه در ساخت کاغذ فلوتینگ و لایزربورد به کار برد [۸]. ترکیب ۴۰ درصد خمیرکاغذ شیمیایی-مکانیکی از کاه گندم و ۶۰ درصد خمیرکاغذ از کارتون کنگره‌ای کهنه نه تنها اثر کاهنده‌ای بر مقاومت‌ها ندارد، بلکه قابلیت عبور خوب در ماشین کاغذ را دارد. این ترکیب اثر منفی چندانی بر کیفیت مقواهی کنگره‌ای نهایی ندارد.

در سال‌های اخیر، تلاش بسیاری برای دستیابی به سیستم‌های جدید خمیرکاغذسازی از مواد اولیه لیگنوسلولزی صورت گرفته و استفاده از روش‌های سازگار با محیط زیست اهمیت یافته است. بنابراین، با توجه به کمبود منابع چوبی در ایران، پتانسیل کاه گندم، به عنوان ماده اولیه لیگنوسلولزی غیر چوبی، برای تولید

1. Chemi-Mechanical Pulping

دستورالعمل‌های مربوط در آییننامه تاپی اندازه‌گیری شد.

### تحلیل و بررسی اطلاعات

تحلیل آماری نتایج به دست آمده بر اساس آزمون فاکتوریل در قالب طرح‌های کامل تصادفی، و مقایسه میانگین‌ها بر اساس روش دانکن انجام شد.

### نتایج

#### ارزیابی ویژگی‌های خمیر کاغذ

به طور معمول، در پخت خمیر کاغذ شیمیایی از دمای حدود ۱۷۵ درجه سانتی‌گراد استفاده می‌شود. در این دما محفظهٔ پخت تحت فشار زیاد است و در نتیجه به تجهیزات گران‌تری نیاز است. بنابراین، از لحاظ اقتصادی، استفاده از آن در مقیاس کوچک توجیه‌پذیر نخواهد بود. در این بررسی، از دمای ۹۵ درجه سانتی‌گراد استفاده شد و با تعیین میزان مصرف هیدروکسیلید سدیم سعی شد خمیر کاغذی با ویژگی‌های مناسب، از نظر بازده و ویژگی‌های مقاومتی، تولید شود. نتایج پخت‌های سودا با تعیین میزان قلیایی و زمان پخت در جدول ۱ خلاصه شده است.

جدول ۱. میانگین بازده و درجه روانی خمیر کاغذ شیمیایی مکانیکی از کاه گندم

(شرایط ثابت؛ دما: ۹۵ درجه سانتی‌گراد؛ زمان: ۴۰ دقیقه)

درجه روانی (ml CSF)	قلیایی صرف شده (%)	بازده بعد از جداسازی الیاف				ویژگی بعد از پخت			
		کل	وازده	قابل قبول	بازده (%)	قلیایی باقی‌مانده (%)	pH	قلیایی (NaOH) (%)	
۷۹۰	۴/۱۵	۵۸	۴	۵۴	۷۲/۲	۵/۸۵	۱۱/۲	۱۰	
۷۵۵	۲/۲۳	۵۶/۲	۳/۴۵	۵۲/۷۵	۶۷/۲	۹/۶۷	۱۱/۶	۱۲	
۷۷۲	۲/۷۲	۵۵/۴۵	۱/۶	۵۱/۸۵	۶۷/۲	۱۱/۲۸	۱۲/۲۰	۱۴	
۷۰۸	۳/۲۹	۵۸/۳	۲/۴	۵۵/۹	۶۴/۶	۱۲/۷۱	۱۲/۲۵	۱۶	

از زمان طولانی‌تری برای پخت استفاده شود. در این بررسی خمیر کاغذ با مقدار قلیایی گوناگون (بین ۱۰ تا ۱۶ درصد بر مبنای وزن خشک کاه) و زمان پخت

### ساخت کاغذ دست‌ساز و تعیین ویژگی‌ها

ساخت کاغذ دست‌ساز و تعیین ویژگی‌ها طبق دستورالعمل‌های آییننامه تاپی<sup>۱</sup> به شرح زیر انجام گرفت: پالایش خمیر کاغذ: T۲۴۸-sp؛ درجه روانی خمیر کاغذ: T۲۲۷-om؛ ساخت کاغذ دست‌ساز: T۴۱۰-om؛ وزن پایه کاغذ: T۴۰۵-sp؛ مقاومت به پاره شدن: T۴۹۴-om؛ مقاومت به ترکیدن: T۴۰۳-om؛ مقاومت به کشش: T۴۱۴-om؛ مقاومت به ترکیدن: T۴۰۲-om؛ مقاومت به ۸۱۸ RCT: T۹۹-om؛ مقاومت به سطح: T۰۶-om؛ مقاومت به CMT: T۸۰۹ CMT؛ T۹۷-om.

ترکیب خمیر کاغذ شیمیایی مکانیکی از کاه گندم با خمیر کاغذ بازیافتی (OCC)

از خمیر کاغذ CMP از کاه گندم به دو شکل پالایش نشده و پالایش شده تا درجه روانی حدود ۳۵۰ میلی‌لیتر استاندارد کانادایی در ترکیب با خمیر کاغذ OCC استفاده شد. خمیر کاغذ CMP به میزان ۴۰، ۶۰، و ۸۰ درصد با خمیر کاغذ OCC مخلوط شد و از این ترکیب، کاغذ با وزن پایه ۱۲۰ گرم بر متر مربع ساخته شد. ویژگی‌های مقاومتی کاغذ دست‌ساز طبق

با توجه به اینکه در دمای کمتر از ۱۰۰ درجه سانتی‌گراد در صورت کوتاه‌بودن زمان پخت، نرم شدن ماده اولیه به خوبی انجام نمی‌گیرد، بنابراین بهتر است

1. Technical Association of Pulp and Paper Industry (Tappi)  
2. Old Corrugated Container

از آب برگشتی در سیستم شست‌وشو استفاده مجدد می‌شود به سیستم برمی‌گردد؛ بنابراین، در مقیاس صنعتی به بازده زیادتری دست خواهیم یافت. نتایج

۴ دقیقه‌ای تهیه شد. با اینکه پخشی از خمیرکاغذهای ساخته شده، به صورت نرم‌هه همراه آب از الیاف جدا شده‌اند، ولی این نرم‌های در فرایند پخت صنعتی که

جدول ۲. ویژگی‌های مقاومتی خمیرکاغذ شیمیایی-مکانیکی از کاه گندم  
(شرایط ثابت؛ دما: ۹۵ درجه سانتی‌گراد؛ زمان: ۴۰ دقیقه)

شاخص مقاومت به کشش N.m/g	شاخص مقاومت به پاره‌شدن mN.m <sup>2</sup> /g	شاخص مقاومت به پاره‌شدن kg/m <sup>3</sup>	دانسیته kg/m <sup>3</sup>	ضخامت μm	وزن پایه g/m <sup>2</sup>	بعد از پالایش	تعداد دور PFI	درجه روانی CSF قبل از پالایش	قليا يي (NaOH) (%)
۵۶/۵	۶/۵۱	۴۴۰	۱۴۶/۱	۶۴/۳	۳۶۵	۱۰۰	۷۹۰	۱۰	
۵۸	۶/۸۶	۴۳۰	۱۴۳/۵	۶۱/۵	۳۶۷	۱۰۰	۷۵۵	۱۲	
۶۰/۰۵	۷/۱۱	۴۳۷	۱۴۸	۶۴/۷	۳۸۴	۱۰۰	۷۷۲	۱۴	
۵۶/۲	۶/۹۷	۴۸۹	۱۲۹/۵	۶۳/۳	۳۴۳	۴۶۰	۷۰۸	۱۶	

۳۵۰ میلی‌لیتر استاندارد کانادایی (RCMP) در ترکیب با خمیرکاغذ بازیافتی از کارتون کنگره‌ای کهنه (OCC) استفاده شد. نتایج اندازه‌گیری ویژگی‌های مقاومتی کاغذ دست‌ساز با وزن پایه ۱۲۰ گرم بر متر مربع از ترکیب این خمیرکاغذها در شکل‌های ۱ تا ۵ آمده است.

با توجه به اینکه طول الیاف کاه گندم کوتاه‌تر و مقاومت ذاتی الیاف خمیرکاغذ شیمیایی-مکانیکی از کاه گندم ضعیف‌تر از الیاف OCC است، بنابراین، بر اثر افزودن خمیرکاغذ CMP یا RCMP به خمیرکاغذ OCC، شاخص مقاومت به پاره‌شدن کاغذ از ترکیب دو خمیرکاغذ کاهش یافت.

آنالیز واریانس (ANOVA) تأثیر افزودن مقادیر مختلف خمیرکاغذ CMP یا RCMP به خمیرکاغذ OCC در جدول ۳ نشان داده شده است.

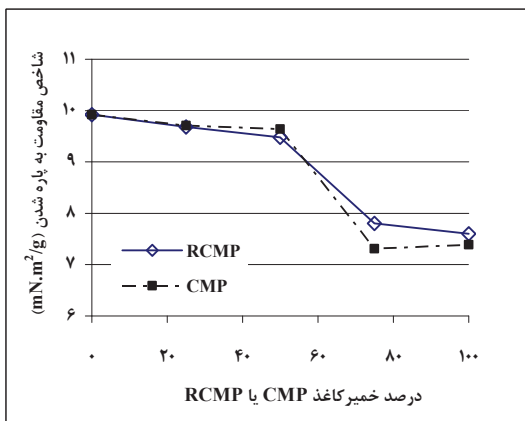
تأثیر افزودن مقادیر مختلف خمیرکاغذ CMP یا RCMP به خمیرکاغذ OCC بر شاخص مقاومت به پاره‌شدن در سطح اعتماد آماری ۹۵ درصد معنی‌دار شد و این ویژگی در سه گروه مجزا قرار گرفت. گروه‌بندی دانکن میانگین‌های مقاومت‌ها در جدول ۴ آمده است.

ویژگی‌های مقاومتی خمیرکاغذهای انتخاب شده در جدول ۲ خلاصه شده است.

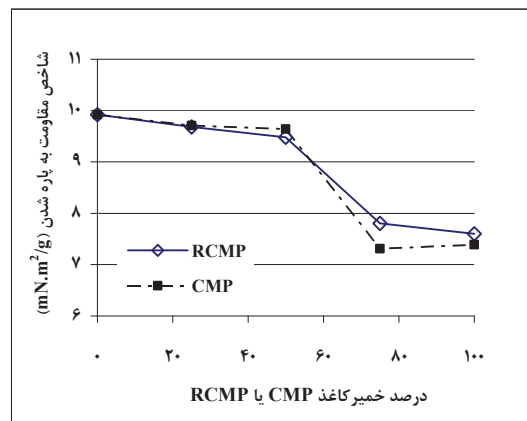
تحلیل و بررسی آماری تأثیر مقدار قليا يي بر روی ویژگی‌های فیزیکی و مقاومتی خمیرکاغذ شیمیایی-مکانیکی از کاه گندم نشان می‌دهد که تأثیر مقدار قليا يي بر ویژگی‌های بررسی شده در سطح اعتماد آماری ۹۹ درصد معنی‌دار نشد و فقط تأثیر آن بر دانسیته کاغذ دست‌ساز در سطح اعتماد آماری ۹۵ درصد معنی‌دار نشد.

استفاده از خمیرکاغذ شیمیایی-مکانیکی کاه گندم در ترکیب با کارتون کنگره‌ای کهنه

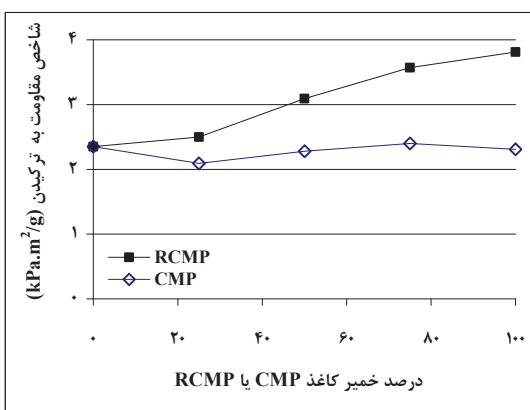
استفاده از خمیرکاغذ شیمیایی-مکانیکی از کاه گندم با قابلیت تولید در مقیاس کوچک و با قابلیت جایگزینی با خمیرکاغذ حاصل از بازیافت کارتون‌های کنگره‌ای کهنه بررسی شد. در حال حاضر، در فرایند بازیافت و تولید کاغذهای بسته‌بندی عمده‌ای از کارتون کنگره‌ای کهنه، موسوم به OCC، استفاده می‌شود. با توجه به ضرورت یافتن خمیرکاغذی که بتواند بخشی از خمیرکاغذ OCC را جایگزین کند، از مقادیر متفاوت خمیرکاغذ شیمیایی-مکانیکی کاه گندم به دو صورت CMP تولید شد و بعد از جداسازی الیاف یا خمیرکاغذ CMP پالایش شده تا درجه روانی حدود



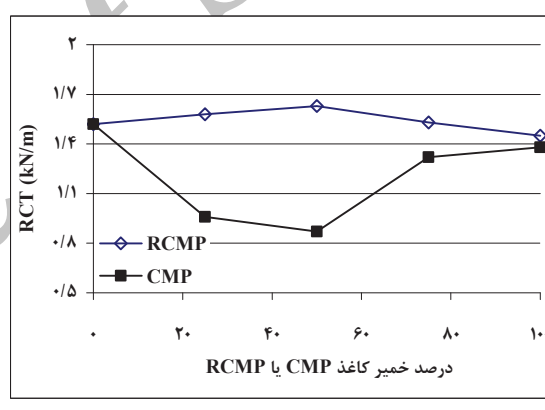
شکل ۲. تأثیر ترکیب خمیر کاغذ شیمیایی-مکانیکی (CMP) و خمیر کاغذ شیمیایی-مکانیکی پالایش شده (RCMP) از کاه گندم با خمیر کاغذ کارتون کنگره‌ای کهنه بر شاخص مقاومت به کشش



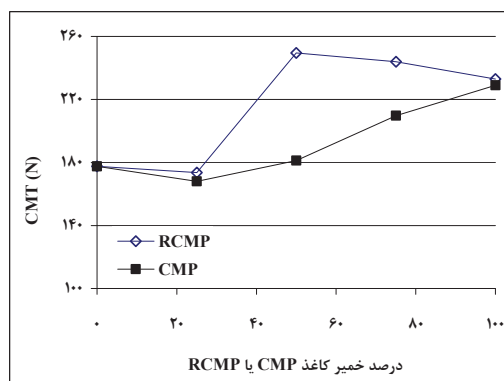
شکل ۱. تأثیر ترکیب خمیر کاغذ شیمیایی-مکانیکی (CMP) و خمیر کاغذ شیمیایی-مکانیکی پالایش شده (RCMP) از کاه گندم با خمیر کاغذ کارتون کنگره‌ای کهنه بر شاخص مقاومت به پاره شدن



شکل ۴. تأثیر ترکیب خمیر کاغذ شیمیایی-مکانیکی (CMP) و خمیر کاغذ شیمیایی-مکانیکی پالایش شده (RCMP) از کاه گندم با خمیر کاغذ کارتون کنگره‌ای کهنه بر RCT کاغذ



شکل ۳. تأثیر ترکیب خمیر کاغذ شیمیایی-مکانیکی (CMP) و خمیر کاغذ شیمیایی-مکانیکی پالایش شده (RCMP) از کاه گندم با خمیر کاغذ کارتون کنگره‌ای کهنه بر شاخص مقاومت به ترکیدن



شکل ۵. تأثیر ترکیب خمیر کاغذ شیمیایی-مکانیکی (CMP) و خمیر کاغذ شیمیایی-مکانیکی پالایش شده (RCMP) از کاه گندم با خمیر کاغذ کارتون کنگره‌ای کهنه بر CMT کاغذ

جدول ۳. آنالیز واریانس (ANOVA) تأثیر افزودن خمیرکاغذ RCMP به خمیرکاغذ OCC  
(وزن پایه کاغذ دستساز: ۱۲۰ گرم بر متر مربع)

سطح معنی داری	F	میانگین مربعات	درجه آزادی	مجموع مربعات	بین گروهها	داخل گروهها	شاخص مقاومت به پاره شدن
۰/۰۵۶	۲/۴۲۸	۲/۸۲۸	۸	۲۲/۶۲۳	بین گروهها	داخل گروهها	شاخص مقاومت به پاره شدن
		۱/۱۶۵	۱۸	۲۰/۹۶۳			
		۲۶		۴۳/۵۸۶			
۰/۰۰۰	۵۲/۲۵۰	۳۴۰/۰۴۳	۸	۲۷۷۰/۳۴۶	بین گروهها	داخل گروهها	شاخص مقاومت به کشش
		۶/۵۰۸	۱۸	۱۱۷/۱۴۳			
		۲۶		۲۸۳۷/۴۸۹			
۰/۴۱۵	۱/۰۸۷	۰/۲۲۱	۸	۱/۷۶۸	بین گروهها	داخل گروهها	RCT
		۰/۰۰۳	۱۸	۳/۶۵۹			
		۲۶		۵/۴۲۷			
۰/۰۰۰	۳۲/۴۰۲	۳۱۹۶/۹۷۸	۸	۲۵۵۷۵/۸۲۳	بین گروهها	داخل گروهها	CMT
		۹۸/۶۶۷	۱۸	۱۷۷۶/۰۰۰			
		۲۶		۲۷۳۵۱/۸۲۳			
۰/۰۰۰	۱۴/۵۴۶	۱/۰۵۵	۸	۱۲/۳۹۶	بین گروهها	داخل گروهها	ترکیدن
		۰/۱۰۷	۲۷	۲/۸۷۶			
		۳۵		۱۵/۲۷۲			

جدول ۴. گروه بندی دانکن میانگین های مقاومت های کاغذ از ترکیب خمیرکاغذها

CMT (N)	RCT (kN/m)	شاخص مقاومت به ترکیدن (kPa.m <sup>2</sup> /g)		شاخص مقاومت به کشش (N.m/g)	شاخص مقاومت به پاره شدن (mN.m <sup>2</sup> /g)	ترکیب خمیرکاغذ		
		OCC	CMP	RCMP				
۲۳۳ <sup>cd</sup>	۱/۴۵	۳/۸۱ <sup>c</sup>	۶۶/۶۶ <sup>g</sup>	۷/۶ <sup>a</sup>	.	-	۱۰۰	
۲۴۴ <sup>cd</sup>	۱/۵۳	۳/۵۷ <sup>c</sup>	۶۸/۹۱ <sup>h</sup>	۸/۷ <sup>ab</sup>	۲۵	-	۷۵	
۲۴۹/ <sup>e</sup> ۶ <sup>e</sup>	۱/۶۳	۳/۰۹ <sup>b</sup>	۵۶/۹۰ <sup>cd</sup>	۹/۴۸ <sup>b</sup>	۵۰	-	۵۰	
۱۷۲/ <sup>a</sup> ۶ <sup>a</sup>	۱/۵۸	۲/۵۰ <sup>a</sup>	۴۲/۴۶ <sup>ab</sup>	۹/۶۸ <sup>b</sup>	۷۵	-	۲۵	
۱۷۷/ <sup>a</sup> ۶ <sup>a</sup>	۱/۵۲	۲/۳۵ <sup>a</sup>	۴۰/۹۱ <sup>a</sup>	۹/۹۲ <sup>b</sup>	۱۰۰	-	۰	
۲۲۹ <sup>c</sup>	۱/۳۸	۲/۰۹ <sup>a</sup>	۶۴/۵۷ <sup>ef</sup>	۷/۱۹ <sup>a</sup>	.	۱۰۰	-	
۲۰۹/ <sup>b</sup> ۷ <sup>b</sup>	۱/۳۲	۲/۲۸ <sup>a</sup>	۶۱/۲۱ <sup>de</sup>	۸/۳۱ <sup>ab</sup>	۲۵	۷۵	-	
۱۸۱/ <sup>a</sup> ۳ <sup>a</sup>	۰/۸۷	۲/۴۰ <sup>a</sup>	۵۰/۹۶ <sup>c</sup>	۹/۶۴ <sup>b</sup>	۵۰	۵۰	-	
۱۶۸ <sup>a</sup>	۰/۹۶	۲/۳۱ <sup>a</sup>	۴۶/۴۴ <sup>b</sup>	۹/۷۱ <sup>b</sup>	۷۵	۲۵	-	

RCMP: خمیرکاغذ شیمیایی مکانیکی بازده کم از کاه گندم که تا ۳۵۰ میلی لیتر استاندارد کانادایی پالایش شده است.

CMP: خمیرکاغذ شیمیایی مکانیکی بازده کم از کاه گندم با درجه روانی ۷۹۰ میلی لیتر استاندارد کانادایی

OCC: خمیرکاغذ بازیافتی از کارتون کنگرهای کهنه

هدف مورد نظر مطلوب است. قلیابی باقیمانده در مایع پخت سیاه معادل ۴/۱۵ درصد وزن خشک کاه اندازه‌گیری شد که نشان می‌دهد با مصرف حدود ۶ درصد هیدروکسید سدیم می‌توان خمیر کاغذ مناسبی PFI تولید کرد. این خمیر کاغذ توسط پالایشگر پالایش شد و پس از ۱۰۰۰ دور درجه روانی آن از مقدار اولیه ۷۹۰ میلی لیتر استاندارد کانادایی به ۳۶۵ میلی لیتر استاندارد کانادایی کاهش یافت. دانسته کاغذ از خمیر کاغذ پالایش شده ۴۴۰ کیلوگرم بر متر مکعب و شاخص مقاومت به پاره شدن و شاخص مقاومت به کشش به ترتیب  $g^{!}/mN.m^3$ ،  $6/51 mN.m^3$  و  $56/5 N.m/g$  اندازه‌گیری شد.

از این خمیر کاغذ به دو شکل پالایش شده و پالایش نشده در ترکیب با خمیر کاغذ از کارتون کنگره‌ای کهنه (OCC) برای ارزیابی کاربرد آن به عنوان جایگزین بخشی از خمیر کاغذ OCC استفاده شده است. نتایج نشان داد که خمیر کاغذ شیمیایی مکانیکی از کاه گندم، که تا درجه روانی ۳۶۵ میلی لیتر استاندارد کانادایی پالایش شده، به سبب الیاف نرمتر و نازک‌تر و تیز قدرت تشکیل پیوند بهتر، توان تقویت کنندگی خمیر کاغذ OCC را دارد. در دهه ۹۰ چندین تحقیق در زمینه توسعه فرایندی برای تولید خمیر کاغذ کنگره‌ای از کاه گندم انجام گرفت [۴، ۷]. اخیراً پیت-کونیل و همکاران (۲۰۰۱) تحقیق جدیدتری در این زمینه انجام داده و با استفاده از فرایند Bi-Vis و  $6/6$  درصد NaOH توانسته‌اند از کاه گندم خمیر کاغذ نیمه شیمیایی تهیه کنند [۹]. ویژگی‌های مقاومتی این خمیر کاغذ شامل طول پاره شدن، مقاومت به ترکیدن، مقاومت به پاره شدن، CMT و RCT به ترتیب  $56/10$  متر،  $3/5 mN.m^3$ ،  $4/46 g/kPa.m^3$  و  $218 N$ ، و  $4/1 kN/m$  اندازه‌گیری شده است.

تأثیر ترکیب خمیر کاغذ CMP یا RCMP با خمیر کاغذ OCC بر شاخص مقاومت به کشش کاغذ در سطح اعتماد آماری ۹۹ درصد معنی‌دار شد و میانگین‌ها در شش گروه مجزا قرار گرفتند (جدول ۴). تأثیر ترکیب خمیر کاغذ بر RCT کاغذ از آن‌ها معنی‌دار نبود، ولی تأثیر ترکیب خمیر کاغذها بر CMT کاغذ از آن‌ها در سطح اعتماد آماری ۹۹ درصد معنی‌دار شد و میانگین‌ها در چهار گروه جداگانه قرار گرفتند (جدول ۴). تأثیر ترکیب خمیر کاغذ بر شاخص مقاومت به ترکیدن کاغذ در سطح اعتماد آماری ۹۹ درصد معنی‌دار بود و شاخص مقاومت به ترکیدن خمیر کاغذ RCMP به علت پرزداری‌بودن این خمیر کاغذ زیادتر از خمیر کاغذ CMP و OCC بود (جدول ۴). بنابراین، افزودن خمیر کاغذ RCMP پالایش شده به خمیر کاغذ OCC سبب افزایش مقاومت به ترکیدن کاغذ می‌شود و این خمیر کاغذ می‌تواند نقش تقویت‌کننده داشته باشد. گروه‌بندی دانکن میانگین‌های شاخص مقاومت به ترکیدن کاغذ از ترکیب خمیر کاغذها در جدول ۴ نشان داده شده است.

### نتیجه‌گیری

در این بررسی ساخت خمیر کاغذ با روشهای ساده و آسان، که بتوان آن را در مقیاسی کوچک اجرا کرد، ارزیابی شد. برای پخت از دمای ۹۵ درجه سانتی‌گراد استفاده شد که در این دما سیستم پخت تحت فشار نیست و می‌توان از تجهیزات ساده‌تری استفاده کرد. به علاوه، سعی شد از هیدروکسید سدیم کمتری استفاده کرد و با اعمال زمان پخت طولانی‌تر به نتیجه مطلوب دست یافت. با اعمال زمان پخت ۴۰ دقیقه، ۱۰ درصد هیدروکسید سدیم، و ۹۵ درجه سانتی‌گراد دمای پخت به بازده بعد از پخت  $72/2$  درصد رسیدیم که برای

## References

- [1]. Atchison, J. (1998). Update on global use of non-wood plant fibers and some prospects of their greater use in the United States. Proceeding of the North American Non-Wood Fiber Symposium, Tappi Press, Altanta, GA. USA, pp. 26-39.
- [2]. Cappelletti, G., and Marzetti, A. (1991). Steam Explosion Pulping of Wheat Straw, Steam Explosion Techniques; Fundamental on Industrial Application. Focher, B., Marzetti, A. (eds). Philadelphia, PA. USA.
- [3]. Lathrop, E.C. (1971). Agricultural residue pulps comparison with typical wood pulp. Paper Trade Journal, 124 (13): 49-55.
- [4]. Raja, A., and Irmak, Y. (1993). Optimizing alkaline pulping of wheat straw to produce corrugating medium. Tappi Journal, 76 (1): 145-151.
- [5]. McKean, W.T., and Jacobs, R.S. (1997). Wheat straw as a paper fiber source: Clean Washington Center and Domtar Inc. 47p.
- [6]. Jeyasingan, J.T. (1991). Mill experience in the application of nonwood fiber for paper making. Nonwood Plant Fiber Pulping, No. 20, pp. 7-19.
- [7]. Ali, S.H., Asghar, S.M., and Shabbir, A.V. (1991). Neutral sulfite pulping of wheat straw. In Proceeding of the TAPPI Pulping Conference Tappi Press, Atlanta GA. USA, pp.51-56.
- [8]. Petit-Conil, M., Brochier, B., Labalettee, F., and Combette, P. (2001). Potential of wheat straw to produce chemimechanical pulps suitable to corrugating papers manufacture. Tappi 2001 Pulping Conference. Seattle, WA. USA. 11p.
- [9]. Technical Association of Pulp and Paper Industry. (2009). Standard Test Methods. Tappi Press, Atlanta, GA. USA.

Received: 21-Apr.-2012  
Accepted: 11-Mar.-2013

## Investigation on the Utilization of Chemi-Mechanical Pulp from Wheat Straw for Fluting Paper Production

- ❖ **Ahmad Jahan Latibari\***; Prof., Wood and Paper Science and Technology, Karaj Branch, Islamic Azad University, Karaj, Iran
- ❖ **Ajang Tajdini**; Associate Prof., Wood and Paper Science and Technology, Karaj Branch, Islamic Azad University, Karaj, Iran
- ❖ **Seyed JJavad Sepedehdam**; Assistant Prof., Wood and Paper Science and Technology, Karaj Branch, Islamic Azad University, Karaj, Iran
- ❖ **Mohammad Ali Hossein**; M.Sc., Wood and Paper Science and Technology, Karaj Branch, Islamic Azad University, Karaj, Iran
- ❖ **Reza Hosseinpour**; Ph.D. Candidate, Wood and Paper Science and Technology, Science and Research Branch, Islamic Azad University, Tehran
- ❖ **Mohammad Gaza**; M.Sc., Wood and Paper Science and Technology, Karaj Branch, Islamic Azad University, Karaj, Iran

### ABSTRACT

Development of wheat straw chemi-mechanical pulping to produce pulp which can partially substitute OCC pulp and suitable for small scale implementation was investigated. Four levels (10, 12, 14 and 16% based on oven dry weight of straw) of NaOH at pulping time of 40 minutes and 95°C pulping temperature were used. After digester yield varied between 64.6 and 72.7% and the total yield after defibration was measured as 55.45% and 58.3%. Unrefined pulp freeness varied between 708 and 765 ml CSF. Pulps were refined to about 350 ml CSF in a PFI mill and then hand sheets were made for strength evaluation. The apparent density of the hand sheets varied between 437 and 488 kg/m<sup>3</sup>, tear index between 6.51 and 7.11 mN.m<sup>2</sup>/g, and tensile index between 29.2 and 30.8 N.m/g. Statistically significant difference at 99% level was not observed between the strength values of the pulps. Wheat straw pulp produced applying 10% NaOH, 40 minutes pulping time at 95°C was used as the substitute pulp for Old Corrugated Container pulp. The characteristics of the pulp refined to 365 ml CSF was superior to OCC pulp which indicates that it can be used as reinforcing pulp for OCC.

**Keywords:** chemi-mechanical pulp, fluting paper, wheat straw, yield, strength properties.

\* Corresponding author: Phone: +989121028126  
E-mail: latibari.aj@gmail.com

Received: 6-Jan.-2012

Accepted: 6-Aug.-2012

## Effects of Pre-Extraction of Hemicelluloses on the Pulping and Papermaking Properties of Bagasse

- ❖ **Ali Abyaz\***; M.Sc., Faculty of Natural Resources, University of Tehran, Karaj, I.R.Iran
- ❖ **Yahya Hamzeh**; Associate Professor, Faculty of Natural Resources, University of Tehran, Karaj, I.R.Iran
- ❖ **Ali Abdolkahni**; Assistant Professor, Faculty of Natural Resources, University of Tehran, Karaj, I.R.Iran
- ❖ **Sahab Hedjazi**; Assistant Professor, Faculty of Natural Resources, University of Tehran, Karaj, I.R.Iran

### ABSTRACT

---

Biomass pretreatment plays a crucial role in a lignocelluloses feedstock-based biorefinery for processing of three major output streams (cellulose, hemicelluloses and lignin) into chemicals and biofuels. Biomass pretreatment includes processing of lignocellulosic material under aqueous, dilute acid or alkaline media to obtain a cellulosic fraction, which in then produce added-value products. In this study, the effect of pre-extraction on alkaline pulping (soda) and papermaking properties of Bagasse was investigated. Samples of sugar cane bagasse were hydrolysed by auto hydrolysis with hot-water. Results showed that pre-extraction optimum conditions were 30 min, 135OC and 10 min 170OC, resulted in extraction yield and holocellulose removal of 86% and 11%, respectively. Also, the pulping optimum conditions were alkali charge 17%, 165 OC for 1h. The results indicated that for unbleachable pulp production the pulping yield from the extracted bagasse is higher than the unextracted bagasse but the bleached pulp from unextracted bagasse have higher yield compared to the extracted bagasse. Pulp strength properties such as the tensile index and the burst index were found to be lower when pre-extraction was applied.

**Keywords:** bagasse, biorefinery, hemicelluloses, pre-extraction, soda pulping.

---

\* Corresponding author: Phone: +989199149500

E-mail: engineerabyaz@yahoo.com

Received: 19-Jan.-2013  
Accepted: 7-Jan.-2013

## Effects of Nanoclay and Microcrystalline Cellulose on Wood Plastics Composites Properties

❖ **Amir Nourbakhsh\***; Associate Professor Department of Wood and Paper Science, Research Institute of Forests and Rangelands (RIFR), Tehran, Iran

❖ **Mehdi Yazdi**; Alireza Ashori, Associate Professor Department of Chemical Industries, Iranian Research Organization for Science and Technology(IROST)

### ABSTRACT

The main objective of this work was to study the effects of nanoclay (NC), microcrystalline cellulose (MCC), and coupling agent (MAPP) on the mechanical and thermal properties. The results showed that mechanical properties of the composites made with MCC were significantly superior to those of unfilled. Addition of MAPP could enhance the mechanical and thermal properties of the blends, due to the improvement of interface bond between the filler and matrix. The significant improvements in tensile properties of the blends composites made with MAPP and NC were further supported by SEM micrographs. The thermo gravimetric analysis indicated that the addition of 5 wt.% MAPP and 3 wt.% NC remarkably increased the thermal stability of the blends compared to the pure PP. It is to be noted that MCC could not improve the thermal stability.

**Keywords:** composite, mechanical properties, microcrystalline cellulose, nanoclay, thermal properties.

\* Corresponding author: Phone: +989126766416  
E-mail: nour@rifr.ac.ir

Received: 3-Sep.-2011

Accepted: 7-Mar.-2013

## The Effect of Adhesive Types and Dovetail Fitting Height on Stress Carrying Capacity of Miter Frame Corner Joints Constructed of Particleboard and Medium Density Fiberboard (MDF)

- ❖ **Sadegh Maleki\***; PhD student, Faculty of Natural Resources, Tarbiat Modarres University, I.R. Iran  
❖ **Mosayeb Dalvand**; PhD student, Faculty of Natural Resources, University of Tehran, I. R. Iran  
❖ **Akbar Rostampour Haftkhani**; PhD student, Faculty of Natural Resources, University of Tehran, I. R. Iran  
❖ **Mehdi Faezipour**; Professor, Faculty of Agricultural, University of Tehran, I. R. Iran

### ABSTRACT

---

This study was conducted to evaluate stress carrying capacity of miter corner joints fabricated with dovetail fitting in frames made with particleboard and medium density fiber board (MDF) under diagonal tension loading. In this study, tests were carried out to determine the effects of dovetail fitting height (9 and 14 mm), and adhesive types (polyvinyl acetate (PVAs), cyanoacrylate (CA) on stress carrying capacity of dovetail joints under diagonal tension loading, and the joints without adhesive were compared. The results indicate that stress carrying capacity has increased, with the increase of high dovetail. The stress carrying capacity of joints constructed with CA adhesive was higher than that of those constructed with PVAs and without adhesive. Furthermore, the stress carrying capacity joints constructed with MDF was higher than that of those of particleboard. The lowest ultimate stress carrying capacities (2.61Mpa) were obtained at 9 mm high dovetail of dovetail joints made of particleboard and without adhesive. Highest bending moment resistance (8.61Mpa) was observed at 14 mm high dovetail with CA adhesive in medium density fiberboard.

**Keywords:** dovetail fitting, MDF, particleboard, stress carrying capacity.

---

\* Corresponding author: Phone: +989168556676  
E-mail: S.Maleki@ut.ac.ir

Received: 21-May.-2011  
Accepted: 24-Oct.-2011

## The Effects of Nano-SiO<sub>2</sub> and Type of Lignocellulosic Materials on Physical and Mechanical Properties of Wood-Cement Boards

- ❖ **F. mohammadkazemi\***; PhD student, Faculty of natural resources, university of Tehran, Karaj, I. R. Iran
- ❖ **K. doosthoseini**; Professor, Faculty of natural resources, university of Tehran, Karaj, I. R. Iran
- ❖ **A.A enayati**; Professor, Faculty of natural resources, university of Tehran, Karaj, I. R. Iran
- ❖ **M. azadfallah**; Assistant Professor, Faculty of natural resources, university of Tehran, Karaj, I. R. Iran

### ABSTRACT

In this study, the effect of nano-SiO<sub>2</sub> in four levels of 0, 1, 2, and 3 percent (weight of cement) and the type of lignocellulosic materials on physical and mechanical properties of wood-cement boards manufactured by old corrugated container (OCC) and rice husk have been investigated. Totally 8 treatments were taken that each one had three repetitions. Samples were provided according to DIN EN 634 and physical and mechanical properties, including modulus of rupture, modulus of elasticity, shear strength parallel to surface, hardness, water absorption and thickness swelling after 2 & 24 hours immersion in water, have been measured. The Results indicated that in case of using nano-SiO<sub>2</sub>, OCC-cement boards incorporating 1 percent and rice husk-cement boards incorporating 2 percent nano-SiO<sub>2</sub> had the highest bending strength and modulus of elasticity. Shear strength parallel to surface and hardness were further in boards incorporating 2 percent nano-SiO<sub>2</sub>. Also, using rice husk in board manufacturing has decreased the water absorption compared to OCC.

**Keywords:** cement, nano-SiO<sub>2</sub>, OCC, physical and mechanical properties, rice husk.

\* Corresponding author: Phone: +982144580282  
E-mail: f\_mkazemi@yahoo.com

Received: 15-Jun.-2011

Accepted: 15-Aug.-2012

## Performance Comparison Artificial Neural Networks with Regression Analysis in Trees Trunk Volume Estimation

❖ **Hadi Bayati**; M.Sc Student, Faculty of Natural Resources, University of Tarbiat Modares, I. R. Iran

❖ **Akbar Najafi\***; Corresponding author, Assistant Prof, Faculty of Natural Resources, University of Tarbiat Modares, I. R. Iran

### ABSTRACT

---

Nowadays, regression analysis is a common method to estimate trees stem volume. Although trees trunk volume can be estimated with a certain accuracy, however there are many constraints such as normality of variables and homogeneity of errors variance, when foresters use this method. In this study, Artificial Neural Networks (ANN) as a subset of the technology of Artificial Intelligence (AI), was used as a new method to estimate the volume trunk. For this purpose, 101 trees were selected. Marked trees were located in Research and Educational Forest of Tarbiat Modarres University (REFTMU). DBH, diameter at stump height, end diameter trunk, trunk height and total tree height were measured with high accuracy during tree marking. Two neural network models, multi-layer perceptron (MLP) and radial basis function (RBF), were developed to estimate trunk volume. The results showed that with increasing the number of variables, that have more correlation with trunk volume, correlation coefficient of neural networks increased from 0.80 to .95. Also the RBF neural network was more accurate in trunk volume estimation than to MLP neural network. Comparing evaluation criteria for ANN with stepwise regression showed that MLP and RBF neural networks had RMSE value 1.18 and 1.05, respectively while the RMSE value of regression was 2.57. Also the regression correlation coefficient is less in compared with two models neural network.

**Keywords:** artificial intelligence, forest harvesting, forest management, multi-layer perceptron, radial basis function, regression, trees trunk volume.

---

\* Corresponding author: Phone: +989112144421

E-mail: a.najafi@modares.ac.ir

Received: 31-Dec.-2009  
Accepted: 23-June.-2013

## Drumstick Plant Population Responses to Culture Media in Callus Induction and Regeneration

- ❖ **Fereshteh Asadicorom\***; Research Institute of Forests and Rangelands, Tehran-Karaj highway
- ❖ **Hosein Mirzaie-Nodoushan**; Prof., Research Institute of Forests and Rangelands, Tehran, I.R.Iran
- ❖ **Mitra Emam**; Research Institute of Forests and Rangelands, Tehran, I.R.Iran
- ❖ **Gholam Reza Bakhshi-Khaniki**; Prof., Payam Noor University, Tehran, I.R.Iran

### ABSTRACT

Drumstick (*Moringa peregrina* (Forssk). Fiori) is one of the valuable tropical forest tree species. It is endangered since long time ago, due to its particular characteristics, extensive seed harvesting and weak regeneration. This research was conducted in order to investigate the effects of several culturing media on micropropagation of three plant populations of the species and their interaction effects. Immature seeds collected from Chanf, Benet and Kenshki located in Sistan and Baluchestan province, Iran, were used to perform the study. Buds of germinated seeds were aseptically grown on eight combinations of two basic culture media, MS and half-MS and various concentrations of BA and 2iP hormones. Several characteristics were recorded on the produced plantlets. The plantlets rooted on two successive rooting media and planted on a mixture of pit and vermiculite. A few samples of the studied plant populations showed strong regenerative callus induction. Analysis of variance revealed significant differences between the studied populations on number of branches, active bud numbers, callus volume, and length of the longest branches on the plantlets. Moreover, a significant difference at one percent of probability was observed between the studied growing media based on the majority of the studied characteristics. It seems the reduction of the concentration of macronutrients of growing medium would lead to significant increment of shoot production on the species. Regarding the different origins of the studied plant samples, the effect of different genotypes on callus induction was clearly observed.

**Keywords:** callus, drumstick, interaction, plant population, tissue culture.

\* Corresponding author: Tel: +989126653813  
E-mail: asadi@rifr.ac.ir

Received: 24-Jan.-2011

Accepted: 19-June.-2013

## Modeling of Frequency Distribution of Tree's Height in Uneven-aged Stands (Case study: Gorazbon district of Khyroud forest)

- ❖ **Khosro Mohammadalizadeh\***; Post Doc Researcher, Faculty of Natural Resources, University of Tehran, Karaj, I.R. Iran
- ❖ **Manuchehr Namiranian**; Professor, Faculty of Natural Resources, University of Tehran, Karaj, I.R. Iran
- ❖ **Mahmoud Zobeiri**; Professor, Faculty of Natural Resources, University of Tehran, Karaj, I.R. Iran
- ❖ **Abd-alhosein Hoorfar**; Professor, Faculty of Agricultural Engineering and Technology, University of Tehran, Karaj, I.R. Iran
- ❖ **Mohammad Reza Marvie Mohajer**; Professor, Faculty of Natural Resources, University of Tehran, Karaj, I.R. Iran

## ABSTRACT

---

To study the frequency distribution of the data for the height of trees in uneven-aged stands in Gorazbon forest and its modeling, some statistical distribution were used. The utilized data belong to 196 trees (*Fagus orientalis*, *Betulus carpinus*, *Quercus castaneifolia*, *Alnus subcordata*, *Acer velutinum* etc.) that were extracted from the data related to the forest management plan of Gorazbon district located at Khyroud forest. The range of the trees' height measured was between 5 and 51 meters which is an indication of height variable in the northern forests. After initial calculations, four distributions Weibull, Gamma, Normal and Lognormal for frequency distribution modeling of height variable were selected and related pertinent calculation were done. The results of Anderson-Darling test and P-P plot showed that lognormal distribution is not an appropriate model for frequency distribution modeling of trees' height. Among the other three distributions, Weibull, Gamma and Normal are respectively more suitable.

**Keywords:** gamma distribution, height of trees, modeling of frequency distribution, uneven-aged stands, Weibull distribution.

---

\* Corresponding author: Phone: +989123861873

E-mail: khmalizadeh@ut.ac.ir

Received: 1-Nov.-2010  
Accepted: 2-May.-2011

## Co-effects of Fusarium Root Rot and Water Stress on Some of the Morphophysiological Features of Christ Thorn's Seedlings

- ❖ **Ehsan Abdi\***; Assistant Professor, Department of Forestry, University of Tehran. Karaj, I.R. Iran
- ❖ **Mostafa Moghadamirad**; M.S of Forest Engineering, Faculty of Natural Resources, University of Tehran, Karaj, I.R. Iran
- ❖ **Saeed Rahbari Sisakht**; M.S of Forest Engineering, Faculty of Natural Resources, University of Tehran, Karaj, I.R. Iran
- ❖ **Baris Majnounian**; Professor, Department of Forestry, University of Tehran. Karaj, I.R. Iran
- ❖ **Fatemeh Mousavi**; M.S of Forest Engineering, Faculty of Natural Resources, University of Tehran, Karaj, I.R. Iran

### ABSTRACT

Forest roads are known as the most important factor of sediment production in forest ecosystems. Because of the importance of this issue, several models developed based on empirical relationships to estimate sediment yield. In this study, the amount of annual sediment yield derived from a forest road network was estimated as tons per year using CULSED model in ArcGIS. Base spatial layers such as: topography, stream, roads, and culverts were used in this model. Additional data such as the bed rock, vegetation, average precipitation, road age, the amount of traffic, road surface and road gradient were used in the model. First, digital databases were developed and the model was run. Then places with high rates of sediment yield were specified and some culverts were designed in appropriate places to decrease the amount of sediment production. The results showed that the amount of sediment with regards to existing 38 culverts was 13.2 tons per year. Adding 16 proposed culverts in the areas with high sediment production resulted in 36% decrease in sediment yield. So, given the importance of reducing sedimentation from roads in the forest, this tool can be used before road construction to find optimal number and location of culverts by engineers. However, due to lack of available data and a native model, some uncertainty will be encountered that should be considered.

**Keywords:** culvert, CULSED, forest road network, sediment, stream.

\* Corresponding author: Phone: +982632249312  
E-mail: Abdie@ut.ac.ir

Received: 13-Aug.-2011

Accepted: 11-Sep.-2012

## Effects of Giberlic Acid, Sulfuric Acid and Potassium Nitrate on Seed Germination of Three Native Species of Hawthorn of Iran

❖ **Saeideh Sadat Mirzadeh Vaghefi\***; M.SC Research Institute of Forest and Rangelands  
❖ **Adel Jalili**; Faculty Research Institute of Forest and Rangelands  
❖ **Ziba Jamzad**; Faculty Research Institute of Forest and Rangelands

### ABSTRACT

---

In this study seed germination problem of this genus regarding different various methods were tested. Pretreatments were conducted using giberlic acid, KNO<sub>3</sub> & Sulfuric acid. Three endemic species including Crataegus babakhanloui, C. aminii, and C. persica were studied. To evaluate the germination responses, experiment were carried out as a completely randomized design with three replications that each replication contains 30 seeds. Results indicated that the most effective treatment for C. aminii is KNO<sub>3</sub> 1% with 38.66% seed germination. Sulfuric acid treatments (98%, <15) and Sulfuric acid 50% for <15 and <30 minutes had no germination. In C. babakhanloui, kno3 1% treatment with 44% germination and Sulfuric acid treatments (98%, <15) with 9.33% germination has the highest and the lowest success respectively in compare the other treatments. In C. persica KNO<sub>3</sub> 0.5 % treatment with 49.33% seed germination has the highest germination rate, in contrary there was no germination in Sulfuric acid treatments (98%, <30). Despite of better performance of potassium nitrate treatment, it does not seem a practical method for germination. In this case for mass germination stimulus, sulfuric acid treatments look more practical.

**Keywords:** crataegus aminii, crataegus babakhanloui, crataegus persica, giberlicacid, KNO<sub>3</sub>, sulfuric acid treatment.

---

\* Corresponding author: Phone: +982144580281  
mail: saeedehsmv@yahoo.com

# JOURNAL OF FOREST AND WOOD PRODUCTS

## (IRANIAN JOURNAL OF NATURAL RESOURCES)

VOLUME 66 NO.2, SUMMER 2013

### Contents

- 1** Effects of Giberlic Acid, Sulfuric Acid and Potassium Nitrate on Seed Germination of Three Native Species of Hawthorn of Iran  
Saeideh Sadat Mirzadeh Vaghefi; Adel Jalili; Ziba Jamzad
- 2** Optimizing Forest Road Cross Drainage Using CULSED (Case study: Namkhane District, Kheyrud Forest)  
Ehsan Abdi; Mostafa Moghadamirad; Saeed Rahbari Sisakht; Baris Majnounian; Fatemeh Mousavi
- 3** Modeling of Frequency Distribution of Tree's Height in Uneven-aged Stands (Case study: Gorazbon district of Khyroud forest)  
Khosro Mohammadalizadeh; Manuchehr Namiranian; Mahmoud Zobeiri;; Abd-alhosein Hoofifar; and Mohammad Reza Marvie Mohajer
- 4** Drumstick Plant Population Responses to Culture Media in Callus Induction and Regeneration  
Fereshteh Asadicorom; Hosein Mirzaie-Noudoushan; Mitra Emam; Gholam Reza Bakhti-Khaniki
- 5** Performance Comparison Artificial Neural Networks with Regression Analysis in Trees Trunk Volume Estimation  
Hadi Bayati; Akbar Najafi
- 6** The Effects of Nano-SiO<sub>2</sub> and Type of Lignocellulosic Materials on Physical and Mechanical Properties of Wood-Cement Boards  
Fatemeh mohammadkazemi; Kaveh doosthoseini; Ali Akbar enayati; Mohamad azadfallah
- 7** The Effect of Adhesive Types and Dovetail Fitting Height on Stress Carrying Capacity of Miter Frame Corner Joints Constructed of Particleboard and Medium Density Fiberboard (MDF)  
Sadegh Maleki; Mosayeb Dalvand; Akbar Rostampour Haftkhani; Mehdi Faezipour
- 8** Effects of Nanoclay and Microcrystalline Cellulose on Wood Plastics Composites Properties  
Amir Nourbakhsh; Alireza Ashori
- 9** Effects of Pre-Extraction of Hemicelluloses on the Pulping and Papermaking Properties of Bagasse  
Ali Abyaz; Yahya Hamzeh; Ali Abdolkahni; Sahab Hedjazi
- 10** Investigation on the Utilization of Chemi-Mechanical Pulp from Wheat Straw for Fluting Paper Production  
Ahmad Jahan Latibari; Ajang Tajdini; Seyed Javad Sepedehdam; Mohammad Ali Hossein; Reza Hosseinpour; Mohammad Gaza